



## فرآیندهای پتروژئنیکی، شرایط تبلور و ماهیت مانگماتیسم لمپروفیرهای اسپسارتیتی کالک آلکالن الیگوسن زیرین منطقه کال کافی (شرق انصارک، استان اصفهان)

\* غلامحسین نظری و قدرت ترابی\*

گروه زمین‌شناسی، دانشکده علوم، دانشگاه اصفهان، اصفهان، ایران

دریافت مقاله: ۱۳۹۴/۰۳/۲۲، پذیرش: ۱۳۹۵/۰۱/۱۸

### چکیده

دایک‌ها و استوک‌های لمپروفیری الیگوسن در منطقه کال کافی (ایران مرکزی، غرب بلوک یزد)، سنگ‌های ولکانیک ائوسن و سایر واحدهای قدیمی‌تر همچون سنگ آهک‌های کرتاسه را قطع کرده‌اند. این لمپروفیرها دارای فنوکریست‌های هورنبلند (مگنزیوپیروسینگزیت)، پیروکسن (دیوپسید) و پلازیوکلاز (لابرادوریت تا بیتونیت) در یک ماتریکس دانه ریز تا دانه متوسط شامل همان کانی‌ها و آپاتیت، مگنتیت، اپیدوت و کلریت هستند. زوینیگ نوسانی فنوکریست‌های کلینوپیروکسن و گستره تدریجی مقادیر  $\text{Al}_2\text{O}_3$  (۱/۳۴ تا ۵/۴۹ درصد وزنی) و  $\text{TiO}_2$  (۰/۳۷ تا ۰/۸۳ درصد وزنی) آنها، بیانگر تبلور این کانی‌ها در حین صعود، همراه با تغییرات فشار است. با توجه به نتایج بررسی‌های پتروگرافی، نوع و ترکیب شیمیایی کانی‌های سازنده این لمپروفیرها، می‌توان آنها را اسپسارتیت‌های کالک آلکالن نامید. نتایج آنالیز عناصر کمیاب فنوکریست‌های آمفیبول، پیروکسن و پلازیوکلاز با استفاده از دستگاه LA-ICP-MS نشان می‌دهد که آمفیبول‌ها بیشترین و پلازیوکلازها کمترین مقدار عناصر نادر خاکی را دارند. ترموبارومتری آمفیبول و پیروکسن‌های موجود در لمپروفیرهای کال کافی به ترتیب دمای میانگین ۸۸۶ و ۱۱۵ درجه سانتی گراد و فشار ۱/۵ تا ۳/۰ و ۲ تا ۵ کیلوبار را نشان می‌دهند. فشارهای به دست آمده اعمق ۷ تا ۱۷ کیلومتر را برای تبلور کلینوپیروکسن‌ها و ۶ تا ۱۱ کیلومتر را برای تبلور آمفیبول‌ها مشخص می‌کنند. دمای تعادل زوج کانی همزیست آمفیبول - پلازیوکلاز به طور متوسط ۸۶۰ درجه سانتی گراد به دست آمده است. ویژگی‌های ژئوشیمیایی کانی‌های سازنده لمپروفیرهای کال کافی نشان می‌دهد که مانگماتیسم این سنگ‌ها در محیط تکتونومانگماتی مرتبط با فرورانش ایجادشده و محصول ذوب یک اسپینل لرزولیت گوشته لیتوسفری بوده است.

**واژه‌های کلیدی:** اسپسارتیت، لمپروفیر، کالک آلکالن، الیگوسن، کال کافی، ایران مرکزی

### مقدمه

می‌شوند. این سنگ‌ها تابع تقسیم‌بندی بر اساس خواص مودال مانند نمودار QAPF و نمودارهای توصیف ترکیبی همچون TAS نیست و با ابزارهای کانی‌شناسی و ماهیت ژئوشیمیایی بررسی می‌شوند. به علت محتوای بسیار متغیر  $\text{H}_2\text{O}$  و  $\text{CO}_2$

اصطلاح لمپروفیر به گروهی از سنگ‌های آذرین مافیک تا حد واسط و عمده‌تاب و لکانیک گفته می‌شود که غالباً به صورت دایک در محیط‌های مختلف زمین‌ساختی یافت

گرفتن زمان لمپروفیرهای کال کافی و فاصله تا محل زمین درز زاگرس، می‌توان بیان داشت این لمپروفیرها همچون لمپروفیرهای آلکالن جندق (Torabi, 2010)، تحت تأثیر فرورانش پوسته اقانوسی نئوتیس از تریاس تا ائوسن اطراف خردقاره بوجود آمده و ارتباطی با فرورانش‌های پالئوتیس (عامل غنی شدگی متل در پالئوزوئیک بالایی) و نئوتیس زاگرس نداشته باشد.

لمپروفیرها با بافت هم بعد دانه<sup>۱</sup> در منطقه کال کافی (شرق منطقه انارک) به صورت دایک و استوک دیده می‌شوند که ولکانیک‌های ائوسن را قطع کرده‌اند. بررسی شیمی‌فازهای مافیک مثل آمفیبول و پیروکسن معنکس کننده بهتری از شرایط اولیه ترکیب شیمیایی ماگمایی به وجود آورند هستند و نقشی مهم در تعیین دسته ماگمایی سنگ میزبان و در نهایت تعیین موقعیت تکتونو-ماگمایی دارند. بررسی شیمی آمفیبول، پیروکسن و پلاژیوکلاز برای فراهم آوردن درک بهتری از فرآیندهای پتروزنیکی و شرایط تبلور و ماهیت ماگماتیسم لمپروفیری از اهداف این پژوهش است. تا کنون هیچ‌گونه بررسی زمین‌شناسی و سنگ‌شناسی بر روی دایک‌های لمپروفیری این منطقه انجام شده است و بررسی آنها کمکی مهم در درک فرآیندهای پترولوژیکی و تحولات زمین‌ساختی منطقه خواهد بود.

### زمین‌شناسی منطقه

کمپلکس آذرین کال کافی جزئی از زون ساختاری ایران مرکزی (بلوک یزد) و زیرزون انارک - خور به حساب می‌آید (Yakovenko et al., 1981; Aistov et al., 1984) که بین طول‌های جغرافیایی ۵۴ درجه تا ۵۶ درجه و ۳۰ دقیقه شرقی و عرض‌های جغرافیایی ۱۵° تا ۳۰° ۳۳° شمالي واقع شده است (شکل ۱).

قدیمی‌ترین واحدهای سنگی منطقه مجموعه دگرگونی انارک موسوم به شیسته‌های انارک منسوب به پرکامبرین و پالئوزوئیک

ترکیب شیمیایی سنگ کل لمپروفیرها که در برخی نمونه‌ها، اولیه و در برخی دیگر ثانویه هستند، تقسیم‌بندی کانیایی یا شیمیایی این سنگ‌ها با مشکلات فراوانی روبه‌روست (Woolley et al., 1996). لمپروفیرها به دلیل محتوی بالای مواد فرار از دیگر دایک‌های مافیک مجزا می‌شوند و توانایی بالایی از نظر فلزات با ارزش دارند. طی ۳۰ سال گذشته IUGS دسته بندی‌های مختلفی بر روی لمپروفیرها برای از بین بردن تنافق‌های انجام داده است. یکی از جامعترین تقسیم‌بندی‌ها بر اساس فراوانی کانی‌های روشن و کانی‌های مافیک مربوط به لویاس (Le Bas, 2007) است.

در ایران مرکزی که از لحاظ زمین‌ساختی یک زون فعال است برونزدهای کوچکی از لمپروفیرها با سن پالئوزوئیک تا الیگومن و در محیط‌های مختلف زمین‌ساختی یافت می‌شود (Torabi, 2009; Torabi, 2010 2009; Torabi, 2010). ترابی (Torabi, 2010) با بررسی لمپروفیرهای آلکالن پالئوزوئیک بالایی منطقه پل هاوند تشکیل این سنگ‌ها را به فرورانش پالئوتیس و متساموتیسم گوشته گارنت لرزولیتی آن منطقه نسبت می‌دهد. همچنین ترابی (Torabi, 2010) با بررسی لمپروفیرهای الیگومن زیرین منطقه جندق (استان اصفهان - ایران مرکزی) تشکیل این سنگ‌ها را به فرورانش پوسته اقیانوسی اطراف خرد قاره شرق - ایران مرکزی نسبت می‌دهد. بیات و ترابی (Bayat and Torabi, 2011) محدوده انارک تا بیاضه را یک منطقه لمپروفیری پالئوزوئیک معرفی می‌کنند و بیان می‌دارند که فرورانش پوسته اقیانوسی پالئوتیس از اردویسین تا پرمین و متساموتیسم گوشته باعث تشکیل این لمپروفیرها در امتداد گسل‌های اصلی و فرعی منطقه شده است. منطقه انارک تا بیاضه منطقه نسبتاً وسیعی با طول بیش از ۱۳۰ کیلومتر در غرب CEIM است که منطقه کال کافی در بخش شمالی این منطقه قرار دارد. لمپروفیرهای پالئوزوئیک دارای ماهیت آلکالن و از نوع کامپتونیت با فاصله زمانی در حدود ۲۰۰ میلیون سال نسبت به لمپروفیرهای کال کافی رخ داده‌اند (Bayat and Torabi, 2011). با در نظر

دایک‌های لمپروفیری موجود در منطقه (شکل ۲) نسبت به ولکانیک‌های ائوسن و دایک‌های قطع کننده آنها جوانترند و به نظر می‌رسد همچون سایر لمپروفیرهای ترشیر بلوک (بلوک یزد) متعلق به الیگوسن زیرین باشند.

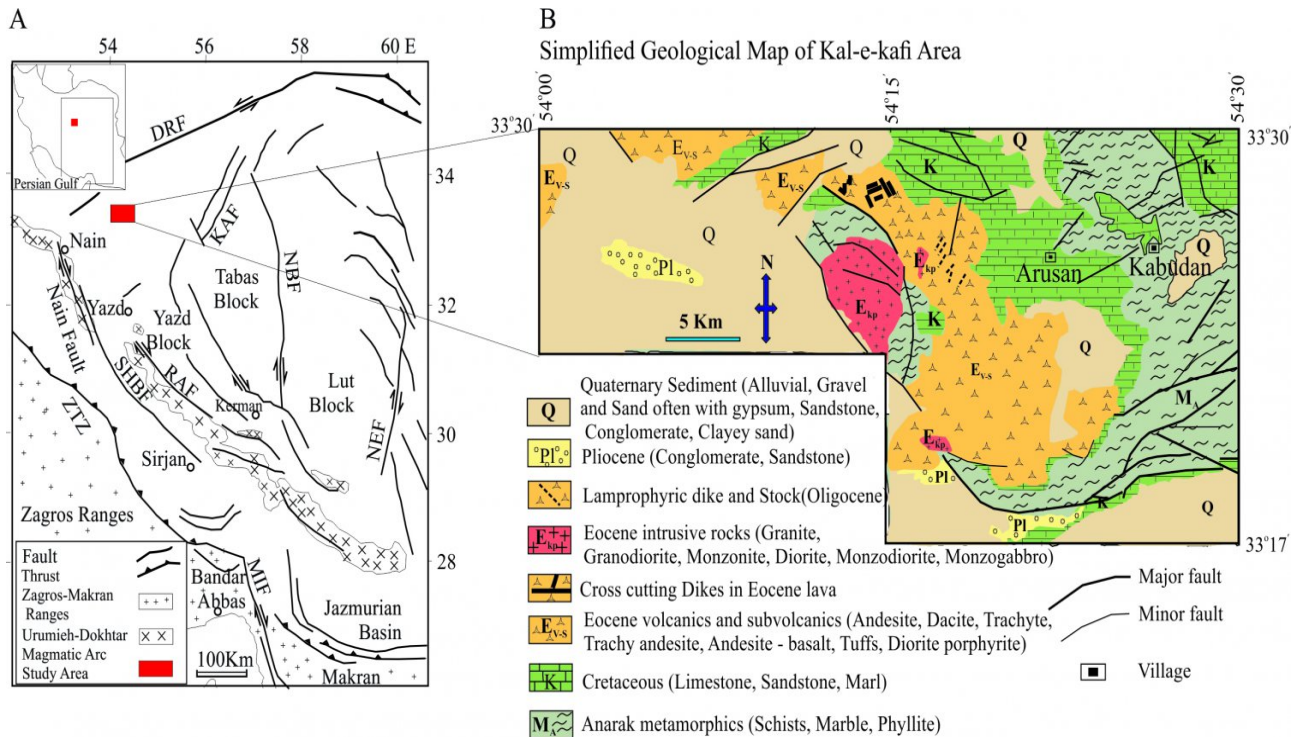
### روش کار

برای بررسی لمپروفیرهای کال کافی، بررسی‌های زمین‌شناسی صحرایی و نمونه‌برداری از این واحدها صورت گرفت. پس از بررسی پتروگرافی، مقاطع نازک صیقلی پوشیده با کرین، برای آنالیز EPMA و سپس LA-ICP-MS تهیه شدند. آنالیز JXA-EPMA توسط دستگاه مایکروپروروب Jeol مدل - 8800R در شرایط ولتاژ ستаб‌دهنده ۲۰ کیلوولت، شدت جریان ۲۰ آمپر و برنامه تصحیح گر ZAF در دانشگاه کانازارا و ژاپن صورت گرفت (جدول ۱).

آنالیز عناصر فرعی و نادر خاکی موجود در آمفیبول، پیروکسن و پلازیوکلاز توسط LA-ICP-MS انجام شد. مدل دستگاه سایش لیزری<sup>۱</sup> مورد استفاده ArF 193 nm است و برای ICP-MS مدل 7500S Agilent استفاده شد. برای محاسبه فرمول ساختاری، تعیین نوع کانی‌ها و جدایش  $\text{Fe}^{2+}$  و  $\text{Fe}^{3+}$  از نرم‌افزار Minpet 2.02 استفاده شد. در این نرم‌افزار از روش Cations 13CNK و در نظر گرفتن ۱۲۳ اکسیژن برای محاسبه آمفیبول‌ها و همچنین برای محاسبه پیروکسن‌ها و فلدسپارها به ترتیب ۸ و ۶ اکسیژن در نظر گرفته شد. برای تفکیک  $\text{Fe}^{2+}$  و  $\text{Fe}^{3+}$  از روش توازن بار استفاده شد. دقت آنالیزهای انجام شده در روش میکروپروروب ۰/۰۱ درصد وزنی بوده است. دقت عناصر و شرایط انجام آنالیزها در استفاده از LA-ICP-MS تیز در منابع ایشیدا و همکاران (Ishida et al., 2004) و موریشیتا و همکاران (Morishita et al., 2005a, 2005b) آورده شده است. نام Whitney and Mg # کانی‌ها به صورت / Mg و Fe # کانی‌ها به صورت /  $(\text{Mg} + \text{Fe})$  و  $\text{Fe}^{2+} / (\text{Fe}^{2+} + \text{Mg})$  محاسبه شده است.

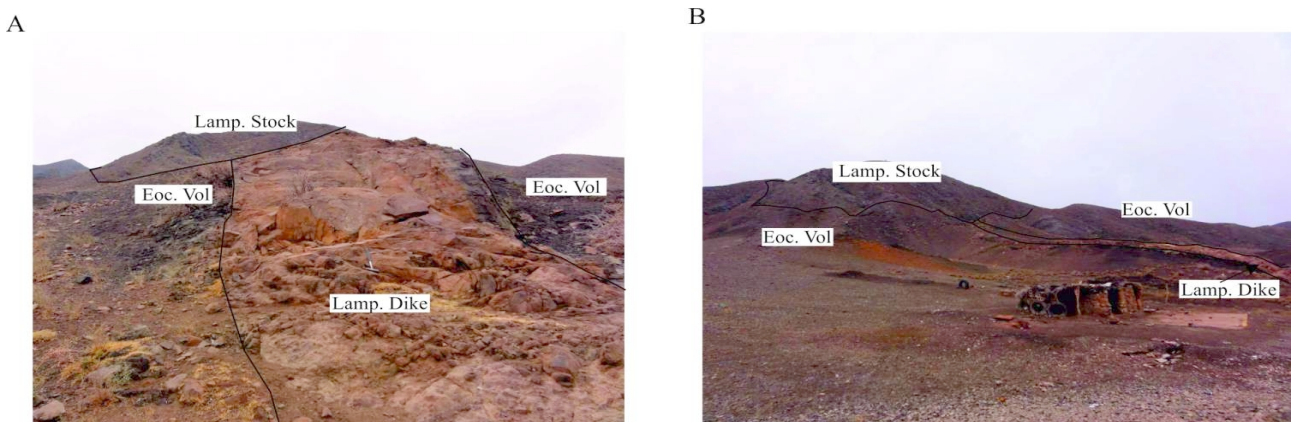
هستند. واحدهای رسوبی کرتاسه زیرین شامل آهک‌های اریتوولین دار با خاصیت قابل ملاحظه، مارن، ماسه‌سنگ و کنگلومرا به صورت ناپیوسته بر روی تشکیلات بالثوزوئیک قرار گرفته‌اند. مجموعه‌های ولکانیک ائوسن شامل داسیت، آندزیت، تراکی آندزیت، تراکیت، آندزیت‌بازالت، دیوریت و توف در بخش شرقی و جنوب‌شرقی با ناپیوستگی بر روی واحدهای رسوبی کرتاسه زیرین قرار گرفته‌اند و در قسمت غربی دارای همبری گسله با توده نفوذی کال کافی به سن ائوسن بالایی - الیگوسن زیرین (Aistov et al., 1984) هستند. شواهد صحرایی - زمین‌شناسی و تعیین سن مطلق انجام شده توسط زمین‌شناسان روس بهروش K-Ar سنی در حدود ۵۳ میلیون سال برای آندزیت‌های مجموعه ولکانیک ائوسن کال کافی و ۴۸ میلیون سال برای داسیت‌های این مجموعه نشان می‌دهد (Yakovenko et al., 1981; Aistov et al., 1984) احمدیان و همکاران (Ahmadian et al., 2016) نیز سن  $1 \pm 52$  میلیون سال برای کوارتز مونزونیت‌ها و سن  $1 \pm 50/3$  میلیون سال را برای گرانیت‌ها بهروش U-Pb موجود در زیرکن‌ها به دست آورده است. سن‌های به دست آمده مطابق با ائوسن زیرین هستند. بهادران (Bahadoran, 2007) با بررسی سنگ‌های آتششانی ائوسن منطقه عروسان (شرق کال کافی) ماهیت ماقمایی سنگ‌های منطقه را طیفی از کالک آلکالن پتاسیم بالا تا شوشوئیتی بیان می‌دارد. بررسی‌های انجام شده توسط احمدیان و همکاران (Ahmadian et al., 2009) نشان می‌دهد که توده نفوذی کال کافی حداقل دارای چهار فاز ماقمایی با ترکیبی از گابرو تا گرانیت است. احمدیان و همکاران (Ahmadian et al., 2016) کمپلکس نفوذی کال کافی را مرتبط با سابداکشن می‌داند که از ذوب‌بخشی پوسته زیرین مجزا شده به وجود آمده و ماهیتی شوشوئیتی و آدکیتی دارد.

در منطقه مورد بررسی استوک و دایک‌هایی دیده می‌شوند که درون ولکانیک‌های ائوسن منطقه نفوذ کرده‌اند. استوک و



شکل ۱. A: موقعیت منطقه کال کافی در درون بلوک یزد (modified after Alavi, 1991) و B: نقشه زمین‌شناسی ساده شده منطقه بر اساس نقشه ۱/۱۰۰۰۰۰ کبودان = DRF = گسل درونه، KAF = گسل کلمرد، JB = حوضه جازموریان، MIF = گسل میناب، NBF = گسل نایبند، NEF = گسل نهbandان، RAF = گسل رفسنجان، SHBF = گسل شهربابک، ZTZ = زون زاگرس رورانده)

**Fig 1.** A: Location of Kal-e-kafi area within the Yazd block (modified after Alavi, 1991), and B: Simplified geological map of the study area adapted from 1/100000 Kaboudan Geological map (DRF = Doruneh Fault, KAF = Kalmard Fault, JB = Jazmurian Basin, MIF = Minab Fault, NBF = Nayband Fault, NEF = Nehbandan Fault, RAF = Rafsanjan Fault, SHBF = Shahr-e-Babak Fault, ZTZ = Zagros Thrust Fault)



شکل ۲. A: نفوذ دایک لمپروفیری (Lamp. Dike) درون سنگهای ولکانیک‌های ائوسن کال کافی (شرق انارک، استان اصفهان) (Eoc. Vol.) و B: دایک و استوک لمپروفیری (Lamp. Stock) درون ولکانیک‌های ائوسن کال کافی (شرق انارک، استان اصفهان)

**Fig. 2.** A: Intrusion of Lamprophyric Dike (Lamp. Dike) within the Kal-e-kafi Eocene volcanic rocks (Eoc. Vol.) (East of Anarak, Isfahan province), and B: Lamprophyric Stock (Lamp. Stock) and Dike within Kal-e-kafi Eocene volcanic rocks (East of Anarak, Isfahan province)

جدول ۱. نتایج آنالیز شیمی (Wt%) و محاسبه فرمول ساختاری کانی‌های موجود در لمپروفیرهای منطقه کال‌کافی (شرق انارک، استان اصفهان) (به ترتیب بر اساس ۲۳، ۶ و ۸ اکسیژن برای آمفیبول، پیروکسن و پلازیوکلаз)

**Table 1.** Chemical analyses (Wt%) and calculate structural formula of minerals in Kal-e-kafi lamprophyres (East of Anarak, Isfahan province) (respectively base on 23, 6 and 8 oxygen for amphibole, pyroxene and plagioclase)

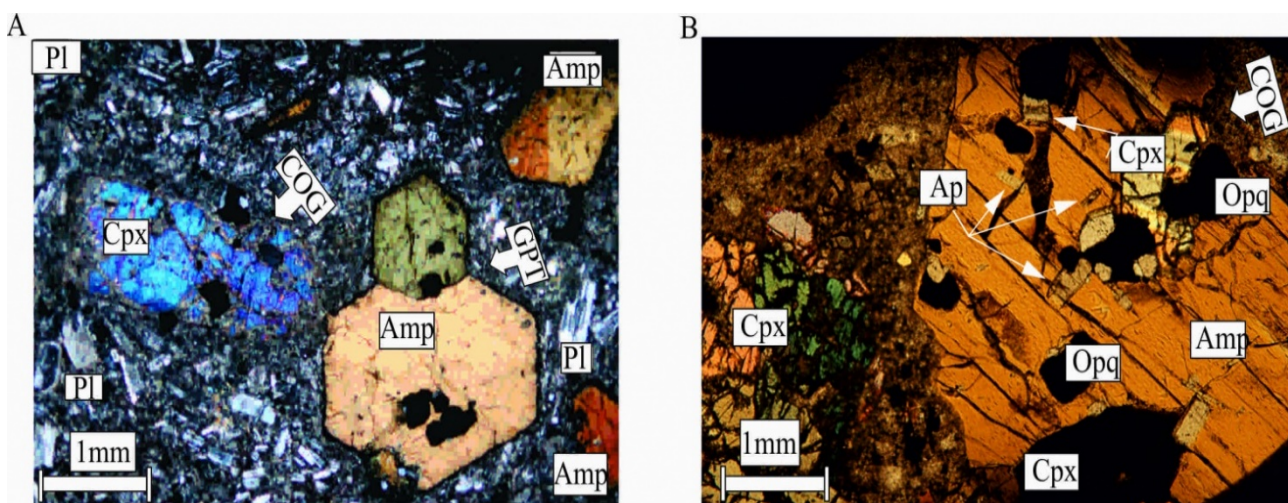
Sample	B842	B844	B844	B842	B844	B844	B844	B844
Point	134	143	147	156	165	144	149	150
Mineral	Amp	Amp	Amp	Cpx	Cpx	Cpx	Pl	Pl
Position	Core	Rim	-	Core	Rim	-	-	Rim
<b>SiO<sub>2</sub></b>	42.35	42.77	42.22	51.19	51.81	51.70	54.94	55.52
<b>TiO<sub>2</sub></b>	2.51	2.68	2.64	0.71	0.58	0.63	0.02	0.00
<b>Al<sub>2</sub>O<sub>3</sub></b>	12.34	11.63	12.80	4.25	3.35	3.84	28.41	28.18
<b>FeO*</b>	12.90	12.37	12.37	7.81	7.93	7.61	0.48	0.49
<b>MnO</b>	0.30	0.28	0.18	0.22	0.35	0.22	0.00	0.03
<b>MgO</b>	12.73	13.29	12.76	14.12	13.88	14.30	0.03	0.03
<b>CaO</b>	11.43	11.38	11.42	21.45	21.81	21.75	10.82	10.56
<b>NiO</b>	0.01	0.01	0.02	0.00	0.00	0.00	0.01	0.00
<b>Na<sub>2</sub>O</b>	2.23	2.31	2.20	0.40	0.38	0.37	4.84	4.60
<b>K<sub>2</sub>O</b>	1.32	1.16	1.21	0.03	0.03	0.00	0.37	0.43
<b>Total</b>	98.09	97.89	97.80	100.19	100.12	100.08	99.93	99.85
<b>Si</b>	6.20	6.25	6.18	1.89	1.92	1.91	2.48	2.50
<b>Ti</b>	0.276	0.295	0.290	0.020	0.016	0.018	0.001	0.00
<b>Al<sup>[IV]</sup></b>	1.80	1.74	1.82	0.09	0.06	0.07	1.51	1.50
<b>Al<sup>[VI]</sup></b>	0.33	0.26	0.38	0.09	0.08	0.08	(total)	(total)
<b>Fe<sup>3+</sup></b>	0.45	0.46	0.42	0.03	0.01	0.02	0.00	0.00
<b>Fe<sup>2+</sup></b>	1.13	1.06	1.10	0.22	0.23	0.22	0.02	0.02
<b>Mn</b>	0.04	0.03	0.02	0.01	0.01	0.01	0.00	0.00
<b>Mg</b>	2.78	2.90	2.78	0.78	0.77	0.79	0.00	0.00
<b>Ca</b>	1.79	1.78	1.80	0.85	0.87	0.86	0.52	0.51
<b>Ni</b>	0.00	0.00	0.00	0.00	0.00	0.00	0.00	0.00
<b>Na</b>	0.63	0.66	0.63	0.03	0.03	0.03	0.42	0.40
<b>K</b>	0.25	0.22	0.23	0.00	0.00	0.00	0.02	0.03
<b>Total</b>	15.67	15.65	15.64	4.00	4.00	4.00	4.98	4.96
<b>Mg#</b>	0.71	0.73	0.72	0.78	0.77	0.78	-	-
<b>An</b>	-	-	-	-	-	-	54.10	54.40
<b>Ab</b>	-	-	-	-	-	-	43.80	42.90
<b>Or</b>	-	-	-	-	-	-	2.20	1.30

نوع مگنتیت، آلکالی فلدسپار، آپاتیت و کانی‌های ثانویه کلریت، اپیدوت، مگنتیت و کانی‌های رسی هستند (شکل ۳). فاز غالب در زمینه پلازیوکلاز است. در این سنگ‌ها کوارتز دیده نمی‌شود و مقدار پلازیوکلاز خیلی بیشتر از آلکالی

**پتروگرافی**  
لمپروفیر کال‌کافی حاوی فنوکریست‌های آمفیبول، کلینوپیروکسن و پلازیوکلاز در زمینه دانه‌ریز تا متوسط دانه شامل کانی‌های مشابه فنوکریست‌ها به اضافه کانی‌های اوپک از

گلومروپورفیریتیک بیانگر تبلور کانی‌ها طی دو مرحله در ماقما هستند و نشان می‌دهند که انجماد این ماقما به‌طور کامل در اعماق زمین صورت نگرفته؛ بلکه قسمتی از مذاب در حین صعود و حرکت به سمت بالا متبلور شده است که بافت گلومروپورفیریتیک شاهدی بر صعود ماقماست. علاوه بر بافت پورفیریتیک و گلومروپورفیریتیک، کانی‌های آهن و منیزیم‌دار موجود در این سنگ‌ها ویژگی‌های بافت پان‌ایدیومورفیک را نشان می‌دهند که از بافت‌های شاخص لمپروفیرهاست و نشان می‌دهد بلورها در فضایی باز که سیالات پی در پی وارد می‌شده‌اند، رشد داشته‌اند (Woolley et al., 1996). در بررسی‌های میکروسکوپی پدیده زونینگ در برخی از فنوکریست‌های آمفیبول، پیروکسن و پلازیوکلاز به‌خوبی دیده می‌شود. کلینوپیروکسن و آمفیبول‌ها در برخی موارد حاوی ادخال‌هایی از آپاتیت و مگنتیت هستند (شکل ۳B) و گاهی نیز ادخال‌هایی از کلینوپیروکسن و یا پلازیوکلاز نیز در آمفیبول‌ها دیده می‌شود (شکل ۳B).

فلدسپار است. با توجه به فراوانی پلازیوکلاز نسبت به آلکالی فلدسپار و فراوانی آمفیبول‌های کلسیم‌دار نوع مگنتیو‌هاسینکسیت، بر اساس تقسیم‌بندی لوپاس (Le Bas, 2007) که بر اساس فراوانی کانی‌های مافیک و فلزیک، لمپروفیرهای کالک‌آلکالن را دسته‌بندی می‌کند، این سنگ‌های لمپروفیری را می‌توان اسپسارتیت نام نهاد. این اسپسارتیت‌ها مزوکرات بوده و بافت پورفیریتیک، گلومروپورفیریتیک و پان‌ایدیومورفیک از خود نشان می‌دهند (شکل ۳). برخی از آمفیبول و پیروکسن‌ها دارای خلیج خوردگی هستند (شکل ۳A) که نتیجه کاهش فشار و صعود ماقما به سمت ترازهای بالاتر است (Rutherford, 2008). فنوکریست‌های آمفیبول (شکل ۳A)، پیروکسن و گاهی پلازیوکلاز در مواردی به صورت تجمعی از بلورها دیده می‌شوند که بیانگر بافت گلومروپورفیریتیک است. این بافت معمولاً در اثر صعود نسبتاً سریع ماقما به وجود می‌آید، به صورتی که ابتدا ماقما در مکانی متوقف شده و شروع به تبلور کرده است، سپس با صعود سریع ماقما، کانی‌های با چگالی مشابه به یکدیگر چسبیده‌اند. بافت پورفیریتیک و



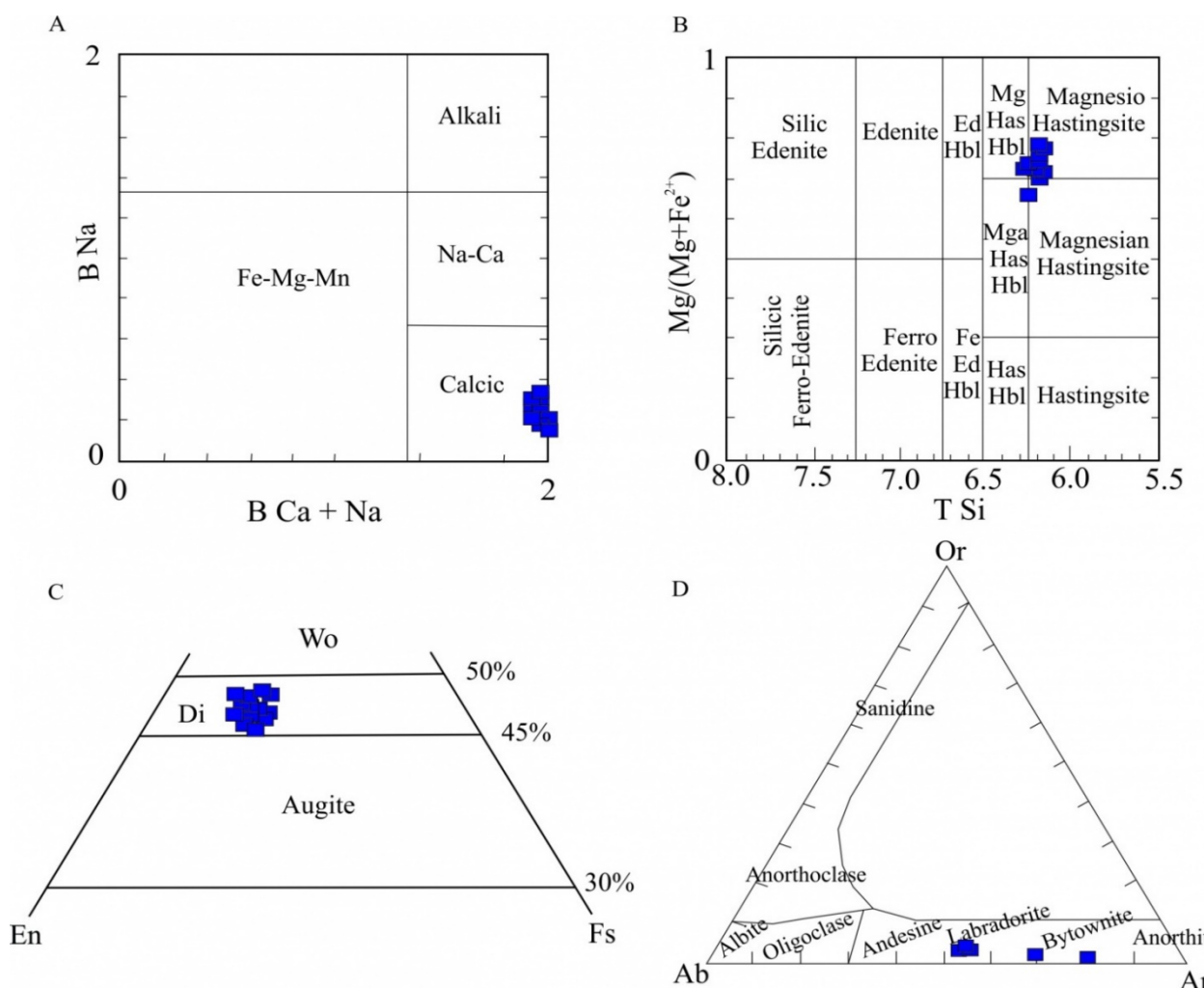
شکل ۳. تصاویر میکروسکوپی لمپروفیرهای ماقمه کالکافی (شرق انارک، استان اصفهان) در نور پلاریزه متقاطع (XPL) A: فنوکریست‌های اصلی تشکیل‌دهنده سنگ، خلیج خوردگی و بافت گلومروپورفیریتیک در آمفیبول را نشان می‌دهد و B: ادخال‌های از پیروکسن، آپاتیت و کانی‌های اوپک از نوع مگنتیت درون آمفیبول دیده می‌شوند (بافت گلومروپورفیریتیک = GPT و خلیج خوردگی = COG).

**Fig. 3.** Photomicrographs of Kal-e-kafi Lamprophyres (East of Anarak, Isfahan province) under cross-polarized light (XPL) A: Showing major phenocrysts component of rock, Corrosion Gulf and glomeroporphyritic raft of amphibole, and B: Inclusion of pyroxene, apatite and opaque minerals in magnetite type are observed within amphibole (GPT = Glomeroporphyritic Texture, COG = Corrosion Gulf)

هاستینگسیت غنی از Mg هستند (شکل A-۴ و B-۴). ترکیب شیمیایی کلینوپیروکسن‌ها با  $Mg/\#$  میانگین ۰/۷۸ در محدوده دیپسید قرار می‌گیرد (شکل C-۴). شیمی این کانی آشکار می‌کند که محدوده‌ای از محتوی  $TiO_2$  بین ۰/۳۷ تا ۰/۸۳ مدرصد وزنی و  $Al_2O_3$  بین ۱/۳۴ تا ۵/۵۰ مدرصد وزنی در کلینوپیروکسن‌ها وجود دارد. فنوکریست‌های پلاژیوکلاز از نوع لابرادوریت تا بیتونیت و پلاژیوکلازهای زمینه از نوع لابرادوریت هستند (شکل D-۴).

### ژئوشیمی کانی‌ها

بررسی شیمی کانی‌های موجود در سنگ‌های لمپروفیری کال کافی نشان می‌دهد  $Mg/\#$  آمفیبول‌ها به طور میانگین ۰/۷۳ و محتوی  $TiO_2$  آنها نسبتاً بالا و در محدوده‌ای بین ۲/۳۵ تا ۲/۶۸ درصد وزنی و به طور میانگین ۲/۵۷ درصد وزنی است. با توجه به نمودار و تقسیم‌بندی لیک و همکاران (Leake et al., 1997)، آمفیبول‌های موجود در این سنگ‌ها کلسیک و از نوع مگنزیو‌هاستینگسیت، هورنبلنند مگنزیو‌هاستینگسیتی و



شکل ۴. نمودارهای ترکیبی آمفیبول، کلینوپیروکسن و فلدسپار موجود در لمپروفیر کال کافی (شرق انارک، استان اصفهان). A و B: نمودار تقسیم‌بندی آمفیبول‌ها (Leake et al., 1997). C: نمودار تقسیم‌بندی پیروکسن‌ها (Morimoto et al., 1988) و D: نمودار تقسیم‌بندی فلدسپارها (Deer et al., 1996).

**Fig. 4.** Chemical graphs of amphibole, clinopyroxene and feldspar of Kal-e-kafi lamprophyres (East of Anarak, Isfahan province). A and B: Amphiboles (Leake et al., 1997), C: Pyroxenes (Morimoto et al., 1988) and, and D: Feldspars (Deer et al., 1996)

کال کافی همانند آمفیبیول‌ها، تغییرات نوسانی از مرکز به سمت حاشیه کانی را نشان می‌دهند (شکل ۶-B).

### ترموبارومتری

تخمین مؤلفه‌های P-T و فوگاسیته اکسیژن در سیستم‌های ماگمایی برای بازسازی سازوکار پترولوجی سنگ‌ها ضروری است. آمفیبیول یکی از کانی‌های سازنده محدوده گسترده‌ای از سنگ‌های آذرین و دگرگونی است و شاخصی مناسب برای شرایط تبلور هم به عنوان ژئوترمومتر و هم به عنوان ژئوبارومتر به حساب می‌آید (Li, 1998). آمفیبیول یک کانی پایدار در محیط‌های با آب بالای ۲ درصد وزنی و محدوده فشاری ۱/۵ تا ۱۲ کیلوبار یا اعماق پوسته نزدیک موهو است (Simakin et al., 2012) (Schmidt, 2012). این کانی گاهی به تنایی برای مثال، ۱۹۹۲; Anderson and Smith, 1995; Simakin et al, (Holland and Blundy, 2012) و گاهی همراه با پلازیوکلаз (1994) به عنوان ژئوترمومتر استفاده می‌شود. همچنین دما، فشار و عمق تبلور سنگ‌های آذرین می‌تواند با استفاده از ترکیب کلینوپیروکسن و تعادل بین مذاب و کلینوپیروکسن سنجیده شود (Soesoo, 1997).

### ترموبارومتری آمفیبیول

تاکنون بررسی‌های متعددی در ارتباط با ماهیت آمفیبیول‌های کلسیک موجود در سنگ‌های آذرین مافیک صورت گرفته است (Femenias et al., 2006; Baziotis et al., 2012; Ridolfi et al., 2010 افزایش شرایط P-T، مقدار Mg# و محتوی Ti, K, Al, Na و Fe+Mg+Mn+Ca آمفیبیول‌ها افزایش و مقدار Si و مجموع کاهش رخ می‌دهد. انطباق خطی بین محتوی Al موجود در آمفیبیول و شرایط فشار تبلور باعث انتشار بارومترهای بسیاری شده است (Hammarstrom and Zen, 1986; Hollister et al., 1987; Johnson and Rutherford, 1988; Schmidt, 1992; Anderson and Smith, 1995;

بررسی نتایج آنالیزهای شیمیایی آمفیبیول، کلینوپیروکسن و فلدسپار موجود در این واحدهای سنگی می‌تواند در تعیین ماهیت و چگونگی تشکیل این واحدهای سنگی مؤثر باشد.

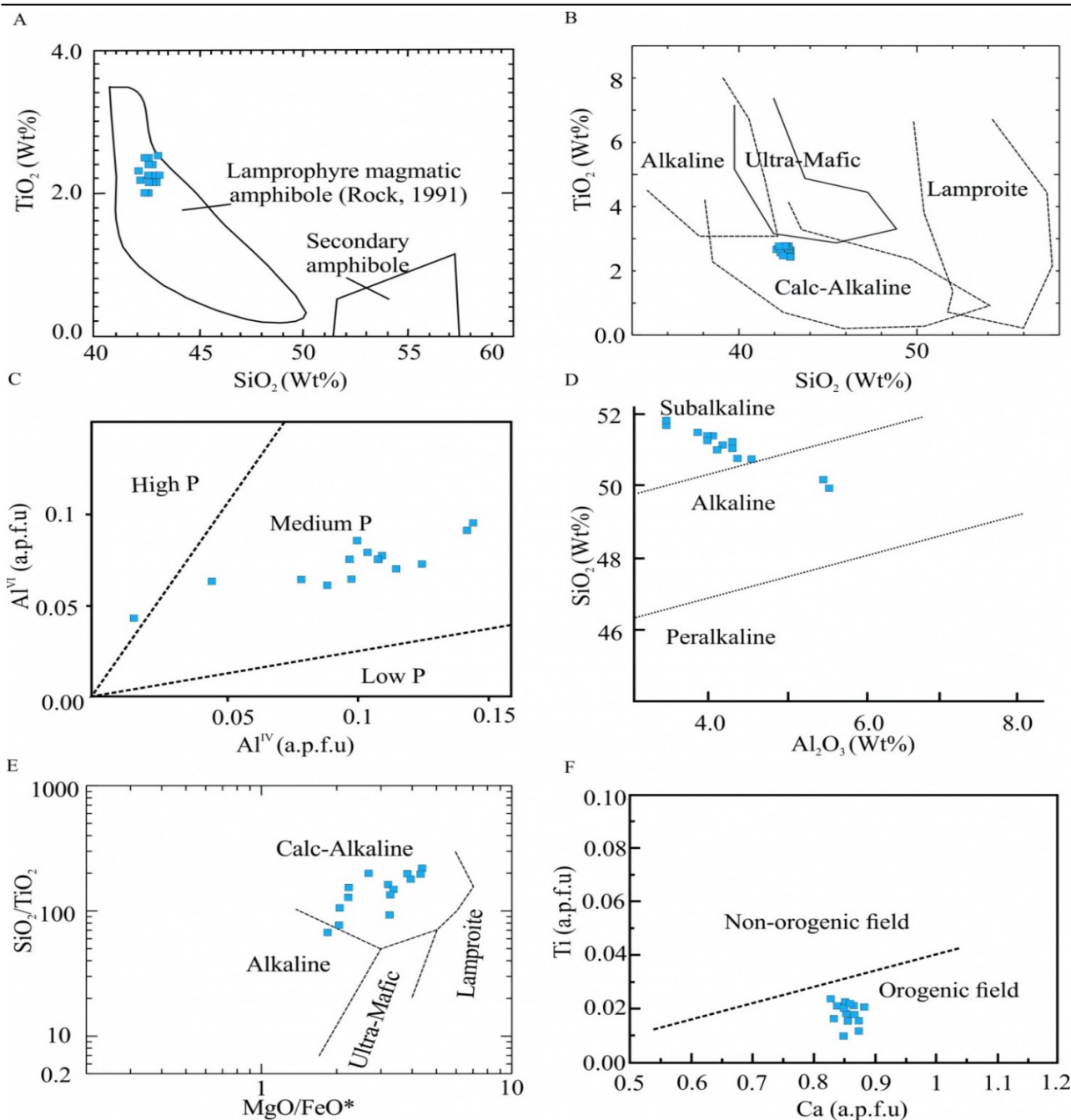
ترسیم محتوی  $\text{SiO}_2$  موجود در آمفیبیول در برابر محتوی  $\text{TiO}_2$  موجود در آنها لمپروفیر بودن و ماهیت کالک‌آلکالن را برای سنگ‌های دربردارنده این آمفیبیول‌ها نشان می‌دهد (شکل ۵-A و B).

محتوی  $\text{Al}^{iv}$  در برابر  $\text{Al}^{vi}$  موجود در کلینوپیروکسن می‌تواند نشان‌دهنده وضعیت مؤلفه فشار در هنگام تبلور کلینوپیروکسن باشد (Aoki and Kushiro, 1968) در  $\text{Al}^{iv}$  برابر  $\text{Al}^{vi}$  موجود در کلینوپیروکسن‌های اسپسارتیت کالکافی پراکنده‌گی نشان می‌دهد و مشخص می‌کند، پیروکسن‌ها در فشار متوسط و در گستره‌ای از عمق متوسط تا کم و احتمالاً هنگام صعود به وجود آمده‌اند (شکل C-۵).

ترسیم نمودار محتوی  $\text{Al}_2\text{O}_3$  در برابر  $\text{SiO}_2$  (Le Bas, 1962) و نمودار محتوی  $\text{MgO}/\text{FeO}^*$  (Rock, 1991) کلینوپیروکسن‌های اسپسارتیت کالکافی (شکل D-۵ و E) نیز دسته ماگمایی ساب‌آلکالن و کالک‌آلکالن را برای ماگمای متبلور کننده پیروکسن‌ها پیشنهاد می‌کند.

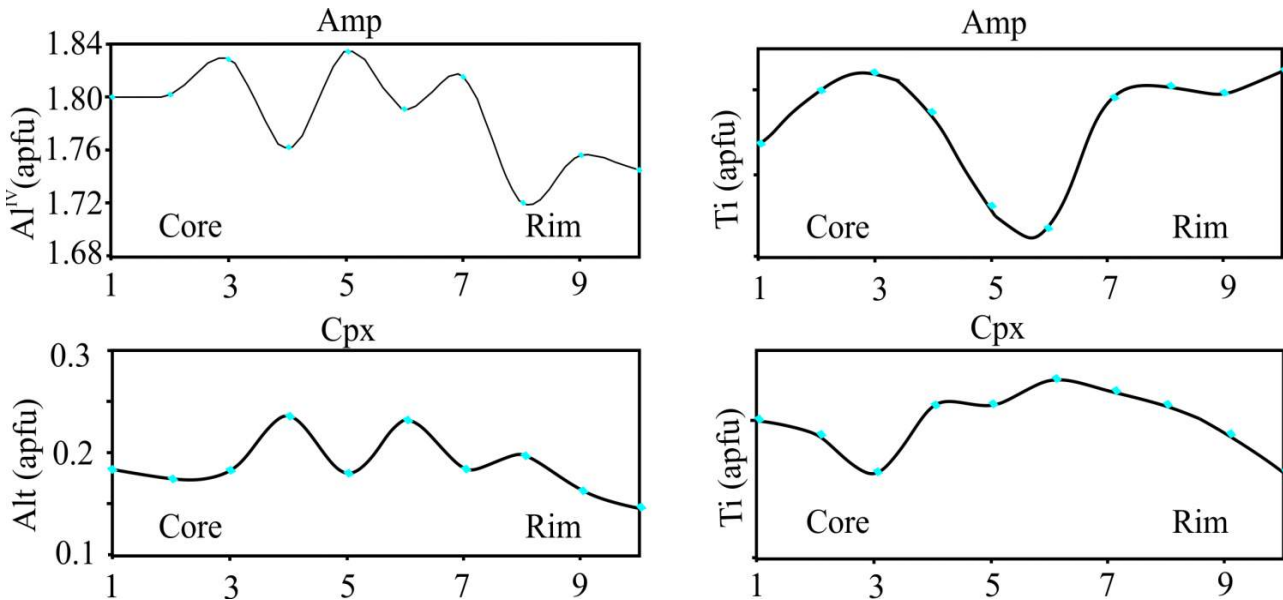
Sun and Bertrand, (1991) دیده می‌شود کلینوپیروکسن‌های موجود در اسپسارتیت‌های کالکافی در قلمرو بازالت‌های کالک‌آلکالن قوس‌های آتشفسانی مرتبط با اسلب فرورونده قرار می‌گیرند و ارتباط سنگ‌های اسپسارتیتی منطقه را با محیط‌های فرورانش نشان می‌دهند (شکل F-۵).

بررسی تغییرات عناصر از مرکز به سمت حاشیه طی ده نقطه متواالی با فاصله نسبتاً یکسان در آمفیبیول‌های موجود در لمپروفیر کالکافی نشان می‌دهد محتوی عناصر به صورت نوسانی تغییر کرده‌اند؛ اما به سمت حاشیه تغییرات در کل کمتر شده است و ترکیب آمفیبیول همگن تر شده است که دلیلی بر ثابت شدن نسبی شرایط حاکم بر ماگمات است (شکل A-۶). بررسی تغییرات عناصر از مرکز به سمت حاشیه در پیروکسن‌های موجود در لمپروفیر



شکل ۵. نمودارهای ترکیب شیمیایی آمفیبول و کلینوپیروکسن‌های لمپروفیر کال‌کافی (شرق انارک، استان اصفهان). A و B: نمودارهای ترسیم  $\text{Al}^{IV}$  محتوی  $\text{SiO}_2$  (Wt%) در برابر  $\text{TiO}_2$  (Wt%) موجود در آمفیبول‌ها (Rock, 1991)، C و D: نمودارهای ترسیم عنصری پیروکسن (ترسیم  $\text{Al}^{VI}$  در برابر  $\text{Al}^{IV}$ ) کلینوپیروکسن (Aoki and Kushiro, 1968) و نمودار  $\text{Al}_2\text{O}_3$  (Wt%) در برابر  $\text{SiO}_2$  (Wt%) (Le Bas, 1962)، E: ترسیم  $\text{MgO}/\text{FeO}^*$  در برابر  $\text{SiO}_2/\text{TiO}_2$  کلینوپیروکسن‌ها (Rock, 1991) و F: نمودار  $\text{Ca}$  در برابر  $\text{Ti}$  موجود در کلینوپیروکسن (Sun and Bertrand, 1991)

**Fig. 5.** Chemical composition diagrams of amphibole and clinopyroxene from Kal-e-kafi lamprophyre (East of Anarak, Isfahan province). A and B:  $\text{SiO}_2$  vs.  $\text{TiO}_2$  diagrams of amphiboles (Rock, 1991), C and D: Plots of pyroxene elemental diagrams,  $\text{Al}^{IV}$  versus  $\text{Al}^{VI}$  (Aoki and Kushiro, 1968) and  $\text{Al}_2\text{O}_3$  versus  $\text{SiO}_2$  diagram (Le Bas, 1962). E:  $\text{MgO}/\text{FeO}^*$  versus  $\text{SiO}_2/\text{TiO}_2$  diagram of clinopyroxene (Rock, 1991), and F:  $\text{Ca}$  against  $\text{Ti}$  of clinopyroxene (Sun and Bertrand, 1991)



شکل ۶. نمودارهای تغییرات شیمیابی از مرکز به سمت حاشیه در فنوکریستهای آمفیبول (Amp) موجود در لمپروفیر کال‌کافی (شرق انارک، استان اصفهان) و فنوکریستهای پیروکسن‌های (Cpx) موجود در لمپروفیر کال‌کافی (شرق انارک، استان اصفهان)

**Fig. 6.** Chemical variation diagrams of amphibole (Amp) phenocrysts from Kal-e-kafi lamprophyre (East of Anarak, Isfahan province) and clinopyroxene (Cpx) phenocrysts from Kal-e-kafi lamprophyre (East of Anarak, Isfahan province)

در لمپروفیر کال‌کافی انتخاب شد. در این روش ترکیب آمفیبول بر اساس ۱۳ کاتیون و مجموع  $\text{Al}^{[4]}$  و  $\text{Al}^{[6]}$  و دمای تبلور (Femenias et al., 2006) محاسبه شده از روش فمنیاس و همکاران (Femenias et al., 2006) برای بارومتری استفاده شد. نتایج محاسبات بارومتری آمفیبول موجود در لمپروفیر کال‌کافی با استفاده از روش یادشده محدوده فشار ۱/۵ تا ۳/۰ کیلوبار و به طور میانگین ۲/۴ کیلوبار را به دست می‌دهد.

فمنیاس و همکاران (Femenias et al., 2006) یک ترمومتر قابل استفاده برای آمفیبول‌های حرارت بالا ( $T > 700^\circ\text{C}$ ) در مگماهای کالک‌آلکالن غنی از Ti پیشنهاد کردند:

$$\ln[\text{Ti}]_{\text{amphibole}} \frac{2603}{T} = -1.70$$

این ترمومتری نشان می‌دهد که آمفیبول‌ها در دمای بین ۸۵۰ تا ۸۹۱ درجه سانتی‌گراد و به طور متوسط در دمای ۸۶۰ درجه سانتی‌گراد متبلور شده‌اند.

وتن (Otten, 1984) ترمومتری بر اساس محتوی Ti (apfu) پیشنهاد کرده است که بر مبنای آن آمفیبول‌های موجود در

افزایش محتوی  $\text{Al}^{\text{IV}}$  و  $\text{Na}_A$  مرتبط با افزایش دما هستند؛ در حالی که محتوی  $\text{Al}^{\text{VI}}$  و  $\text{Na}_B$  مرتبط با فشار هستند (Anderson and Smith, 2012) (Anderson and Smith, 1995) محدوده دمایی ۶۰۰ تا ۸۰۰ درجه سانتی‌گراد را در نظر گرفته و با بازنگری روابط بارومتری قبلی و دخالت تأثیر دما در بارومتری، رابطه زیر را ارائه کردند:

$$P (\pm 0.6 \text{ kbar}) = 4.76 \text{ Al (total)} - 3.01 - \{ [T (\text{ }^\circ\text{C}) - 675]/85 \} * \{ 0.530\text{Al} + 0.005294 [T (\text{ }^\circ\text{C}) - 675] \}$$

این کالیبراسیون علاوه بر ترکیب آمفیبول به مقدار دما نیز وابسته است. وقتی دما از ۱۱۰۰ تا ۱۲۰۰ درجه سانتی‌گراد افزایش می‌یابد به میزان قابل توجهی اهمیت پیشتری پیدا می‌کند (Anderson and Smith, 1995). از بین بارومترهای تجربی پیشنهاد شده برای تعیین فشار تبلور مذاب‌های کالک‌آلکالن با توجه به دمای بالای به دست آمده برای آمفیبول‌های موجود در لمپروفیر کال‌کافی و دقت بالا و قابل استفاده بودن بارومتر پیشنهادی (Anderson and Smith, 1995) در دماهای بالا، این بارومتر برای تعیین فشار تبلور آمفیبول موجود

دارای محتوی  $6/0$  و  $Al^{VI}$  (apfu)  $<1/8$  و  $Na^A$  (apfu)  $>0/2$  دارای محتوی آنورتیت پلاژیوکلاز کمتر از  $0/9$  باشد،  $Si > 7/7$  و محتوی آنورتیت پلاژیوکلاز کمتر از  $0/9$  باشد، توصیف کردند. شرایط این ترمومتر با آمفیبول و پلاژیوکلازهای موجود در لمپروفیر کال کافی همخوانی دارد. این بارومتر برای محاسبه نیاز به تخمین فشار دارد که بدین منظور از فشارهای بهدهست آمده در روش اندرسون و اسمیت (Anderson and Smith, 1995) استفاده شد.

ترموموتی با استفاده از این روش و استفاده از آنالیز نزدیک به حاشیه فنوكریستهای پلاژیوکلاز و هورنبلند، دمای تعادل بین این دو فاز را بین  $856$  تا  $874$  درجه سانتی گراد و به طور متوسط  $860$  درجه سانتی گراد، در فشار متوسط  $2/0$  کیلوبار به روش اندرسون و اسمیت (Anderson and Smith 1995) بهدهست می‌دهد.

### تخمین عمق تشکیل

ریدولفی و همکاران (Ridolfi et al., 2010) نمودار ترکیبی دما-عمق و فشار را برای آمفیبولهای مناطق مختلف ارائه کرد که در این نمودار اعماق مختلف بر اساس لرزه‌نگاری ترسیم شده است. مایر (Mayer, 2013) نیز با استفاده از محدوده‌های مشخص شده توسط پژوهشگران مختلف، یک نمودار فشار و عمق ترسیم کرد. برای درک بهتر عمق تشکیل واحدهای لمپروفیری کال کافی نتایج ترموبارومتری‌های آمفیبول و پیروکسن در این نمودارها ترسیم شدند. آمفیبول‌ها در روش اندرسون و اسمیت (Anderson and Smith, 1995) محدوده فشار بین  $1/5$  تا  $3/0$  کیلوبار و فشار میانگین  $2/4$  کیلوبار را بهدهست می‌دهند که با اعماق حدود  $6$  تا  $11$  کیلومتر مطابقت دارند (شکل C-7). پیروکسن‌ها دمای  $1150$  درجه سانتی گراد و شرایط فشار  $2$  تا  $5$  کیلوبار را نشان می‌دهند که با اعماق  $7$  تا  $17$  کیلومتر مطابقت می‌کند (شکل C-7).

با توجه به شکل D-7 منشأ ماقمای سازنده این آمفیبول و کلینوپیروکسن‌ها یک اسپینل لرزولیت است که آمفیبول‌ها در شرایط اشباع از مواد فرار و  $CO_2$  و کلینوپیروکسن‌ها در دماهای

لمپروفیر کال کافی دمای  $854$  تا  $900$  درجه سانتی گراد و میانگین دمایی  $886$  درجه سانتی گراد را نشان می‌دهد.

### ترموبارومتری کلینوپیروکسن

ترکیب شیمیایی کلینوپیروکسن معنکس کننده عمق و دمای تبلور آن است (Soesoo, 1997). سوئسو (Soesoo, 1997) بر اساس داده‌های تجربی و به کارگیری روش‌های آماری چند متغیره یک فضای P-T تجربی با استفاده از ترکیب شیمیایی کلینوپیروکسن‌های متبول شده از ماقمای بازیک ارائه کرد. در این روش، میدان‌های فشار و دمای تجربی بر روی بردارهای  $X_{PT}$  و  $Y_{PT}$  ترسیم می‌شود که بردارهای مذکور به روش زیر محاسبه می‌شوند:

$$X_{PT} = 0.446SiO_2 + 0.187TiO_2 - 0.404Al_2O_3 + 0.346FeO(tot) - 0.052MnO + 0.309MgO + 0.431CaO - 0.446Na_2O$$

$$Y_{PT} = -0.369SiO_2 + 0.535TiO_2 - 0.317Al_2O_3 + 0.323FeO(tot) + 0.235MnO - 0.516MgO - 0.167CaO - 0.153Na_2O$$

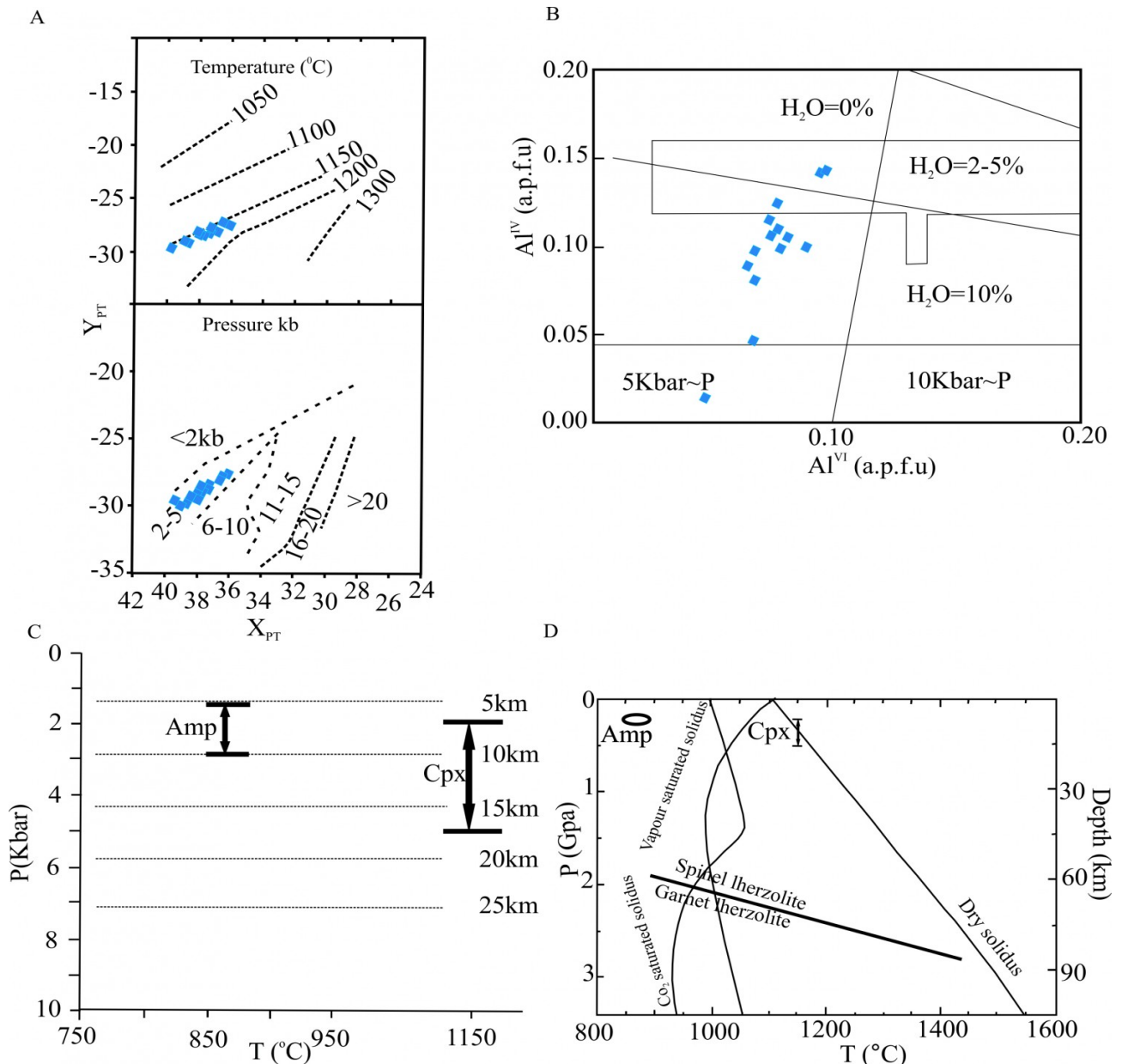
با توجه به پژوهش سوئسو (Soesoo, 1997) و استفاده از نمودار و روابط ارائه شده، پیروکسن‌های موجود در لمپروفیر کال کافی در دمای  $1150$  درجه سانتی گراد و فشار  $2$  تا  $5$  کیلوبار متبول شده‌اند (شکل A-7).

توزیع آلومینیوم در موقعیت‌های ترائیدری و اکتايدری کلینوپیروکسن‌ها معیاری مناسب برای تخمین میزان فشار حاکم بر محیط تشکیل سنگ‌های آذرین است (Helz, 1973). چنان‌که در شکل B-7 ملاحظه می‌شود، در تمامی نمونه‌های آنالیز شده مقدار  $Al^{VI}$  کمتر از  $0/1$  است که نشانه تبلور این کانی‌ها در فشار کمتر از  $5$  کیلوبار با محتوای آب ماقما در حدود  $10$  درصد است.

### ترموبارومتری پلاژیوکلاز - هورنبلند

ترکیب کانی‌های همزیست متعادل به هم وابسته هستند. هولاند و بلاندی (Holland and Blundy, 1994) ترموبارومتر زوج کانی همزیست Plagioclase-Hornblende را با شرایط دمایی  $400$  تا  $900$  درجه سانتی گراد به‌طوری که آمفیبول‌ها

بالاتر، شرایط نسبتاً خشک با مواد فرار و  $\text{CO}_2$  کمتر به وجود آمده‌اند.



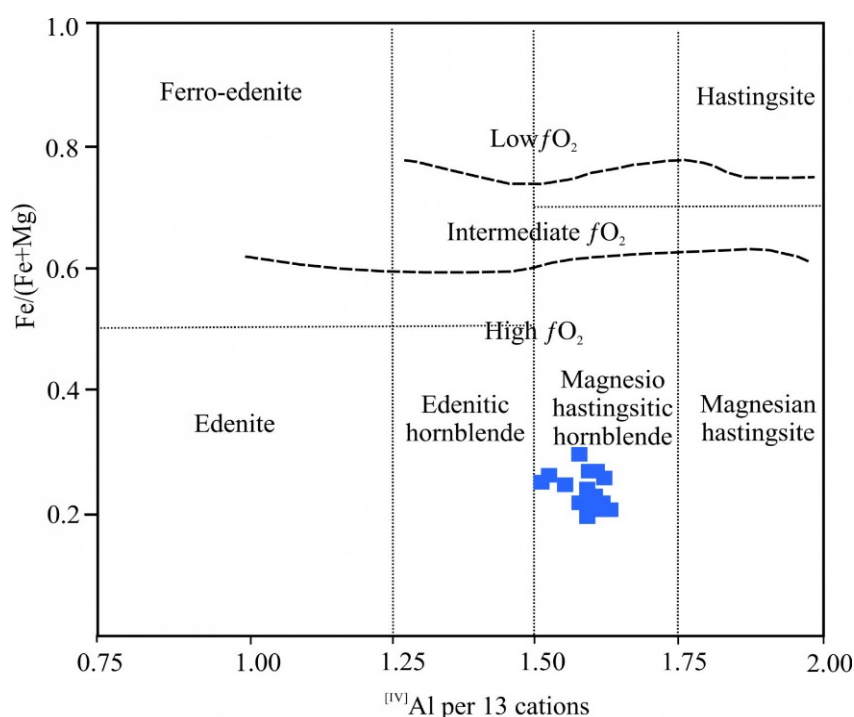
شکل ۷. A: ترموبارومتری کلینوپیروکسن‌های موجود در لمپروفیر کال‌کافی (شرق انارک، استان اصفهان) (after Soesoo, 1997), B: توزیع  $\text{Al}$  در موقعیت‌های تتراهدری و اکتاہدری کلینوپیروکسن‌ها به تناسب فشار و مقدار درصد آب ماغما (Helz, 1973)، C و D: ترسیم عمق تبلور با توجه به فشار و دمای بدست آمده از پیروکسن و آمفیبول‌های موجود در لمپروفیر کال‌کافی (شرق انارک، استان اصفهان) (C: نمودار برگرفته از RIDOLFI و همکاران (Mayer, 2013) و D: نمودار برگرفته از مایر (Ridolfi et al., 2010))

**Fig. 7.** A: Clinopyroxene thermobarometry of Kal-e-kafi lamprophyre (East of Anarak, Isfahan province) (after Soesoo 1997), B: Distribution of  $\text{Al}^{\text{VI}}$  vs.  $\text{Al}^{\text{IV}}$  in relation with pressure and water content of the magma (Helz, 1973), C and D: Evaluation of depth by estimated temperature and pressure of clinopyroxene and amphibole from Kal-e-kafi lamprophyres (East of Anarak, Isfahan province), (C: After Ridolfi et al. (2010), D: After Mayer (2013))

محتوی (a.p.f.u)  $\text{Al}/(\text{Fe}+\text{Mg})$  موجود در آمفیبول‌های اسپسارتیت کال کافی می‌توان گفت این دسته از سنگ‌ها در شرایط فوگاسیته بالای اکسیژن تشکیل شده‌اند که این افزایش فوگاسیته اکسیژن می‌تواند باعث کاهش فشار تبلور (Anderson and Smith, 1995) آمفیبول‌های موجود در لمپروفیر کال کافی شده باشد (شکل ۸).

### فوگاسیته اکسیژن

دانستن وضعیت فوگاسیته اکسیژن و ترکیب سیال در بررسی پتروژنی و توانایی کانه‌زایی ماقما ضروری است (Moretti & Baker, 2008). بارومتر  $\text{Al}$  در هورنبلنده به تغییرات  $f\text{O}_2$  و دما حساس است و با افزایش  $f\text{O}_2/\text{Fe}+(\text{Fe}+\text{Mg})$  مستقل از نسبت  $\text{Fe}/\text{Mg}$  سنگ کل به‌طور قابل ملاحظه‌ای مستقل از نسبت  $\text{Fe}/(\text{Fe}+\text{Mg})$  (Anderson and Smith, 1995) با توجه به کاهش می‌یابد.



شکل ۸. ترکیب هورنبلنده و فوگاسیته اکسیژن اسپسارتیت کال کافی (شرق اثارک، استان اصفهان) در نمودار  $\text{Al}/(\text{Fe}+\text{Mg})$  برگرفته از اندرسون و اسمیت (Anderson and Smith, 1995). خطوط تقسیم‌بندی مربوط به لیک و همکاران (Leake et al., 1997) است.

**Fig. 8.** Hornblende composition and Oxygen fugacity of Kal-e-kafi Spessartite (East of Anarak, Isfahan province) in  $\text{Al}$  vs.  $\text{Fe}/(\text{Fe}+\text{Mg})$  diagram (Anderson and Smith, 1995). Subdivision lines are from (Leake et al., 1997).

فیزیکی کل سیستم که مستقل از تبلور است مثل جریان هموفیتی، تهنشست بلوری و ... و عوامل داخلی شامل بازخورد بین رشد بلوری و انتشار می‌توان بیان کرد (Shore and Fowler, 1996). فمنیاس و همکاران (Femenias et al., 2006) تغییر نوسانی برخی عناصر همچون  $\text{TiO}_2$  و  $\text{Al}_2\text{O}_3$  را نشان‌دهنده تبلور در حین صعود و تغییرات فشار می‌دانند.

**بررسی مذاب با توجه به منطقه‌بندی کانی‌ها**  
بررسی تغییرات عناصر از مرکز به سمت حاشیه در آمفیبول و کلینوپیر و کسن‌های موجود در لمپروفیر کال کافی تغییرات نوسانی از مرکز به سمت حاشیه کانی را نشان می‌دهند (شکل ۶-۷). این نوع منطقه‌بندی می‌تواند دلایل متعددی داشته باشد که در دو قالب کلی عوامل خارجی شامل تغییرات مکانیکی و

اسلوب فرورونده به طور ذاتی تهی از HFSE است و تهی شدگی بیشتری نسبت به Ti و Zr دارد. بنابراین آنومالی منفی عناصر HFSE می‌تواند مربوط به سیالات متاسوماتیز کننده که از آب‌زدایی پوسته اقیانوسی و رسوبات حاصل می‌شوند، باشد (Coltorti et al., 2007). به عبارت دیگر می‌توان بیان داشت که آنومالی منفی عناصر HFSE در فنوکریستهای اسپسارتیت کالکافی نشان می‌دهد اسلوب فرورونده در تشکیل مذاب مولد این فازها دخالت داشته است.

### ضریب توزیع کلینوپیروکسن / مذاب

ژئوشیمی‌دان‌ها توزیع عناصر نادر بین فازهای همزیست را به‌وسیله یک ضریب توزیع بیان می‌کنند که مربوط به غلظت عناصر در دو فاز متفاوت است. ضریب توزیع معمولاً برای مشخص کردن توزیع تعادل عناصر نادر بین بلور و ماگما طی تفیریق استفاده می‌شود. در روش ارائه شده تعادل وود و بلاندی (Wood and Blundy, 1997) که مدل پیش‌بینی چگونگی توزیع REE بین کلینوپیروکسن و مذاب سیلیکاته بی‌آب است، می‌توان با استفاده از مقادیر اکسید عناصر اصلی کلینوپیروکسن، دما، فشار و #Mg مذاب در حال تعادل با کلینوپیروکسن را به دست آورد و سپس ضریب توزیع عناصر نادر خاکی سه ظرفیتی و ایتریوم بین کلینوپیروکسن و مذاب را محاسبه کرد. در این روش، تغییرات مقدار  $Kd_{\text{Opx/melt}}$  با تغییرات مقدار دما و فشار رابطه عکس و با #Mg مذاب رابطه مستقیم دارد. سان و لیانگ (Sun and Liang, 2012) نیز با توجه به مقادیر اکسید عناصر اصلی کلینوپیروکسن، دما و محتوی آب مذاب در حال تعادل با کلینوپیروکسن، روشی برای محاسبه ضریب توزیع عناصر نادر خاکی سه ظرفیتی و ایتریوم بین کلینوپیروکسن و مذاب ارائه کردند. در این روش ضریب توزیع انطباق مشتبی با آلومینیوم تراهدرال و مقدار Mg در موقعیت M2، و انطباق منفی با دما و محتوی آب مذاب دارد. با توجه به مقادیر Kd کلینوپیروکسن و نیز داشتن مقدار عناصر نادر خاکی درون کلینوپیروکسن (که به روش LA-ICP-MS به دست آمده

با توجه به مطالب بالا و ترکیب شیمیایی خاص لمپروفیرها، محتوای بسیار متغیر  $H_2O$  و  $CO_2$  لمپروفیرها (Woolley et al., 1996) و مقادیر متغیر  $TiO_2$  و  $Al_2O_3$  و پیروکسن‌های موجود در لمپروفیر کالکافی و نبود شواهد اختلاط ماگمایی می‌توان زونینگ نوسانی را به تغییرات فشار در حین صعود، نوسانات فشار بخار آب و تغییرات شدید فوگاسیته اکسیژن نسبت داد.

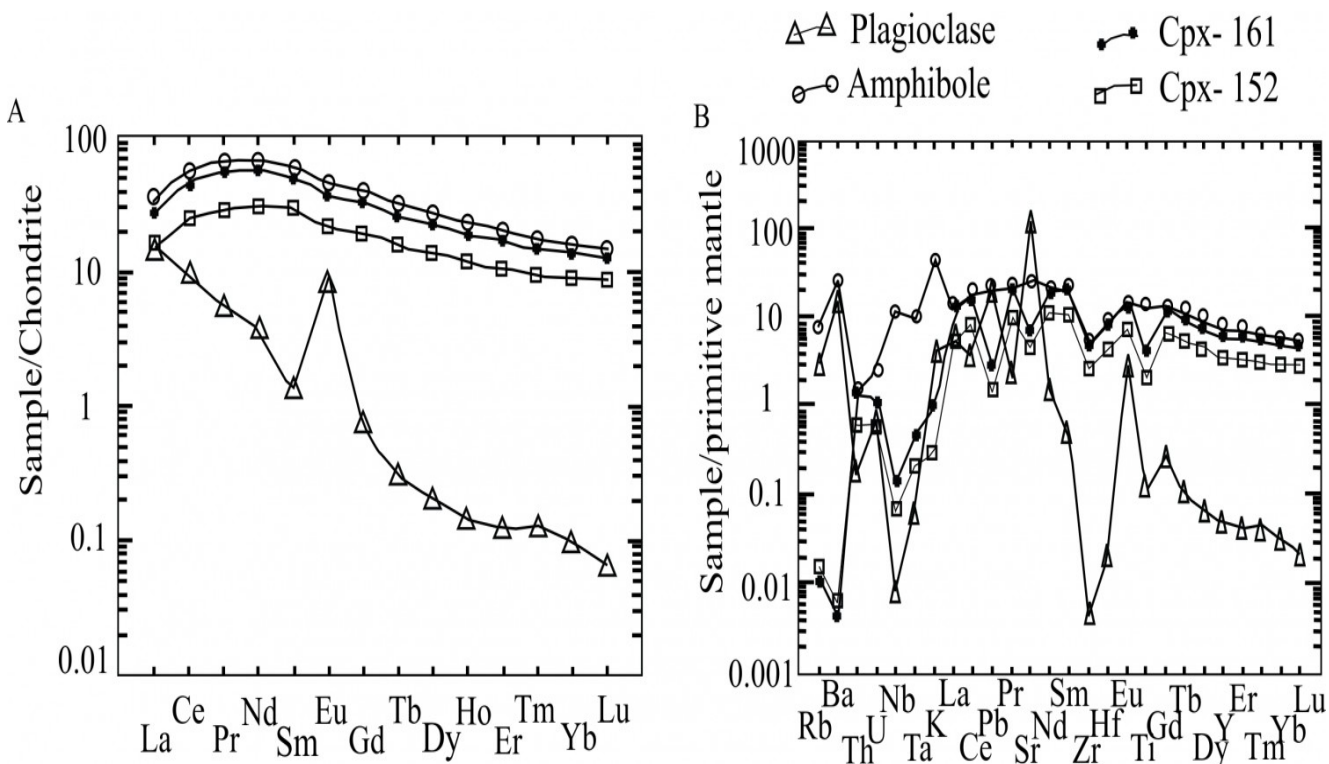
### بررسی عناصر کمیاب

مقدار عناصر اصلی، فرعی و کمیاب کانی‌ها که توسط EPMA و LA-ICP-MS آنالیز شده‌اند، در جدول ۲ آورده شده است. در نمودار بهنجارسازی عناصر نادر خاکی نسبت به کندریت، پیروکسن‌ها و آمفیبول اسپسارتیت کالکافی تحدب مشخصی از خود نشان می‌دهند که به‌علت مقدار کمتر LREE‌ها نسبت به MREE‌هاست (شکل ۹-A). این نمودار نشان می‌دهد که مقدار عناصر نادر خاکی آمفیبول‌ها بیشتر از کلینوپیروکسن‌ها است و پلازیوکلازها کمترین مقدار عناصر نادر خاکی را با آنومالی مثبت مشخصی از Eu از خود نشان می‌دهند. در نمودار بهنجارسازی عناصر این کانی‌ها نسبت به گوشه‌های اوپلیه نیز فراوانتر بودن مقدار عناصر در آمفیبول نسبت به کلینوپیروکسن و پلازیوکلاز به خوبی مشخص است (شکل ۹-B). بیشترین مقدار HFSE متعلق به پلازیوکلازها بوده و آنومالی منفی عناصر Sr مانند Ti, Zr, Hf, Sr, Ba, Nb در کلینوپیروکسن به خوبی قابل تشخیص است. آمفیبول‌ها تمرکز بالاتری از عناصر Sr, Ta, Nb, Ba نسبت به پیروکسن‌ها دارند. عنصر سیار مناسبی برای تفکیک آمفیبول‌های مربوط به زون سابداکشن از انواع درون صفحات است، به طوری که آمفیبول‌های بالای زون Coltorti et al., 2007) مقدار Nb میزان ۱۰ ppm آmfibol لمپروفیر کالکافی ۸/۳۰۷ ppm است که بیانگر ارتباط با فرورانش است.

آمفیبول، پیروکسن و پلازیوکلاز مشخصات خود را از اسلوب فرو رونده به ارث می‌برند بدین معنی که سیالات آزاد شده از

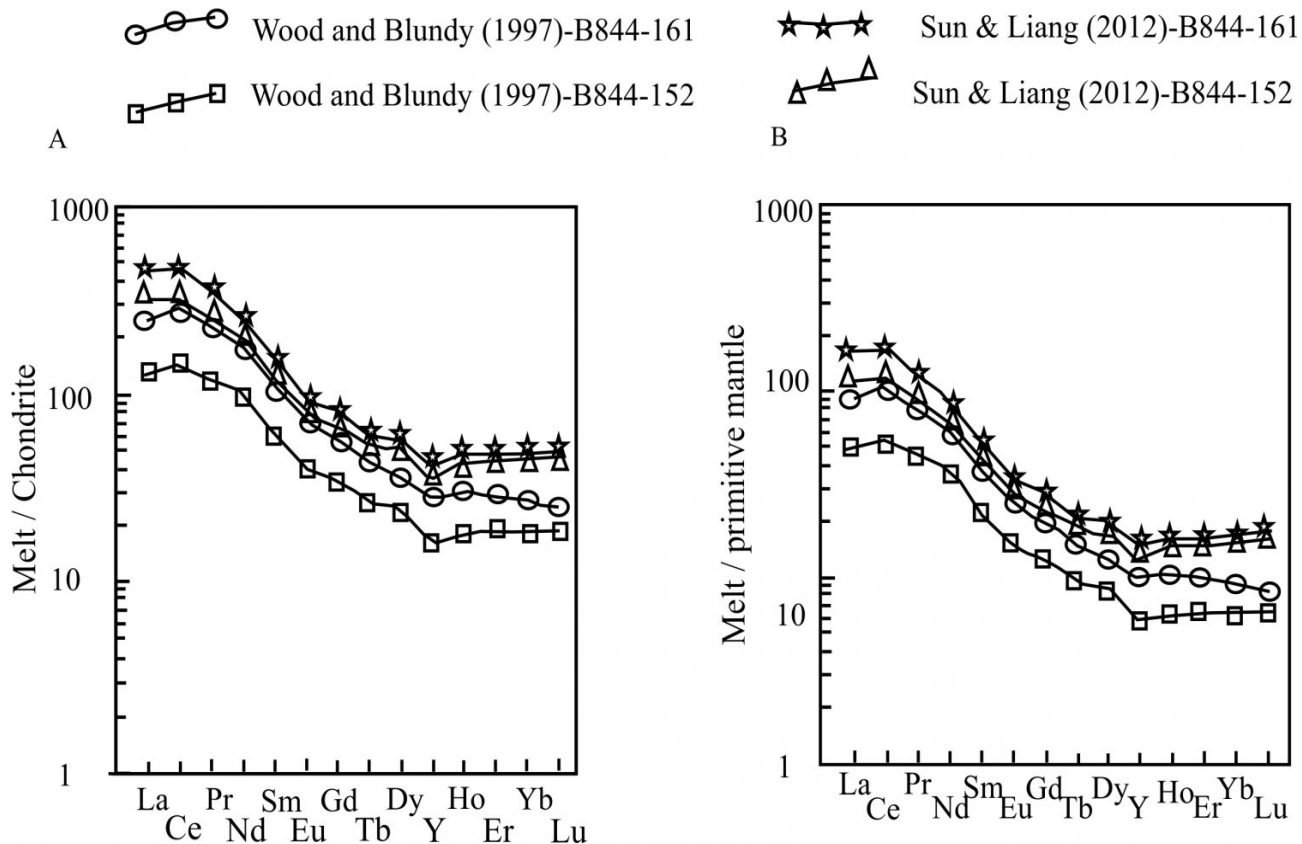
کلینوپیروکسن ترجیح می‌دهد؛ بنابراین مقدار آن در مذاب همزیست با کلینوپیروکسن بیشتر خواهد بود. به هنجارسازی ترکیب مذاب همزیست با کلینوپیروکسن نسبت به کندریت (شکل A-۱۰) و گوشته اولیه (شکل B-۱۰) نموداری با شبکه کاوهشی و سه قسمتی (LREE, MREE, HREE) به دست می‌دهد (شکل ۱۰). این نمودارها نشان می‌دهند که مذاب سازنده این سنگ‌ها محتوی بالایی از LREE داشته و در ایجاد آنها آمفیبول نیز نقش داشته است. شبکه کاوهشی و الگوی تقریباً افقی HREE‌ها در نمودار به هنجارسازی به کندریت، تعلق ماقمای سازنده این سنگ‌ها به دسته ماقمایی کالک‌آلکالن و سنگ منشأ اسپینل لرزولیت را نشان می‌دهد.

است)، ترکیب عناصر نادر خاکی و عنصر Y در مذاب در حال تعادل با کلینوپیروکسن بر اساس معادله  $Kd_{Cpx/melt} = C_i_{Cpx} / C_{iMelt}$  برای هر عنصر محاسبه می‌شود (جدول ۳). مقدار  $Kd_{Cpx/melt}$  کم، بیانگر توزیع بیشتر یک عنصر در مذاب نسبت به کانی (کلینوپیروکسن) است. در کل می‌توان گفت محتوی عناصر نادر خاکی و عنصر Y در مذاب در حال تعادل با کلینوپیروکسن بالاست و با توجه به مقدار  $Kd_{Cpx/melt}$  کم کلینوپیروکسن، این عناصر توزیع بیشتری در مذاب نسبت به کلینوپیروکسن داشته‌اند که این امر می‌تواند به دلیل غنی‌بودن سنگ منشأ، درجات ذوب بخشی کمتر و تفریق کمتر مذاب باشد. برای مثال  $[K_d]_{Yb}^{Cpx/Melt} = 0.50$  (نمونه B844-152) نشان می‌دهد عنصر Yb مانند در مذاب را دو برابر به ورود در



شکل ۹. نمودارهای به هنجارسازی عناصر مختلف موجود در آمفیبول، کلینوپیروکسن و پلازیوکلاز لمپروفیر کال‌کافی (شرق انارک، استان اصفهان).  
A: نسبت به ترکیب کندریت (McDonough and Sun, 1995) و B: نرمالیز نسبت گوشته اولیه (Sun and McDonough, 1989)

**Fig. 9.** Normalization diagrams of amphibole, clinopyroxene and plagioclase from Kal-e-kafi lamprophyres (East of Anarak, Isfahan province), A: Chondrite normalized (McDonough and Sun, 1995), and B: Primitive mantle\_normalized spidergram (Sun and McDonough, 1989)



شکل ۱۰. نمودارهای بهنجارسازی ترکیب محاسبه شده مذاب همزیست با کلینوپیروکسن لمپروفیر کالکافی (شرق انارک، استان اصفهان) نسبت به A: کندریت و B: گوشته اولیه

**Fig. 10.** Normalization of calculated melt composition coexisting with clinopyroxene from Kal-e-kafi lamprophyres (East of Anarak, Isfahan province) to A: Chondrite, and B: Primitive mantle

را از ذوب گوشته لیتوسفری در شرایط اشباع از آب و مواد فرار و فوگاسیته بالای اکسیژن به وجود آورده باشد. با در نظر گرفتن زمان و موقعیت منطقه مورد بررسی که به حاشیه این خرد قاره بسیار نزدیک است، فرورانش صفحه اقیانوسی پیرامون خرد قاره شرق- ایران مرکزی (افیولیت‌های نایین و عшин) دارای احتمال بیشتری است. با توجه به نتایج بررسی‌های انجام شده می‌توان در مورد لمپروفیرهای کالکافی تصور کرد که آب‌زدایی اسلب اقیانوسی فرورونده و رسوبات روی آن باعث آزاد شدن سیالات متاسوماتیز کننده شده که گوه گوشته لیتوسفری اسپینل لرزولیتی را تحت تأثیر قرار داده و ذوب گرده است. مذاب حاصل از این پدیده دارای ماهیت کالک‌آلکالن و تشکیل دهنده لمپروفیرهای کالکافی بوده است.

### نتیجه‌گیری

لمپروفیرها غالباً مرتبط با فرآیندهای کوهزایی هستند؛ زیرا فرورانش صفحه اقیانوسی ممکن است متاسوماتیزم را در گوشته لیتوسفری گسترش دهد و حتی در نواحی که شواهدی از فرآیند فرورانش دیده نمی‌شود، فرآیندهای زمین‌شناسی پیشنهاد می‌کنند که یک اسلب فرورانده قدیمی طی چند صد میلیون سال، گوشته را تحت تأثیر قرار داده است ( Gibson et al., 1995). در مورد سنگ‌های لمپروفیری منطقه کالکافی می‌توان گفت فرورانش اقیانوس نئوتیس در راستای تراست زاگرس و فرورانش صفحه اقیانوسی پیرامون خرد قاره شرق- ایران مرکزی می‌توانند گوشته را تحت تأثیر قرار داده و سنگ‌های لمپروفیری

جدول ۲. نتایج آنالیز LA-ICP-MS و میکروپرپوب کلینوپیروکسن، پلاژیوکلاز و آمفیبول موجود در لمپروفیر کال‌کافی (شرق انارک، استان اصفهان)

**Table 2.** LA-ICP-MS and EPMA analyses of clinopyroxene, plagioclase and amphibole from Kal-e-kafi lamprophyre (East of Anarak, Isfahan province)

Sample	B844			
Point	152	161	153	151
Mineral	CPX	CPX	Plg	Amp
SiO <sub>2</sub>	52.76	50.08	48.51	42.21
TiO <sub>2</sub>	0.43	0.83	0.02	2.59
Al <sub>2</sub> O <sub>3</sub>	2.48	5.37	32.90	12.69
FeO*	7.10	8.55	0.47	12.16
MnO	0.22	0.25	0.00	0.18
MgO	14.54	13.16	0.04	12.97
CaO	21.93	21.31	15.93	11.53
NiO	0.00	0.01	0.00	0.00
Na <sub>2</sub> O	0.29	0.46	2.13	2.31
K <sub>2</sub> O	0.01	0.03	0.11	1.32
Total	99.76	100.04	100.12	97.97
Li	22.151	23.836	8.048	2.138
Rb	0.010	0.007	1.780	4.873
Sr	95.455	115.360	2357.600	521.350
Y	15.223	26.017	0.227	30.700
Zr	28.605	52.621	0.044	53.446
Nb	0.045	0.088	0.005	8.307
Ba	0.042	0.030	112.510	182.940
La	3.560	6.694	3.848	8.410
Ce	15.145	30.736	6.160	34.108
Pr	2.687	5.164	0.531	5.873
Nd	14.633	27.344	1.766	31.573
Sm	4.276	7.734	0.194	8.771
Eu	1.197	2.116	0.490	2.516
Gd	3.916	6.769	0.137	8.067
Tb	0.559	0.928	0.011	1.091
Dy	3.454	5.573	0.048	6.692
Ho	0.639	1.046	0.008	1.246
Er	1.652	2.717	0.020	3.184
Tm	0.221	0.368	0.003	0.418
Yb	1.474	2.310	0.016	2.686
Lu	0.216	0.309	0.002	0.352
Hf	1.267	2.360	0.006	2.235
Ta	0.008	0.019	0.002	0.383
Pb	0.238	0.467	3.680	3.561
Th	0.053	0.127	0.013	0.108
U	0.012	0.024	0.012	0.053

جدول ۳. مقادیر  $K_d$  عناصر نادر خاکی و Y محاسبه شده کلینوپیروکسن‌های لمپروفیر کال‌کافی (شرق انارک، استان اصفهان) و ترکیب مذاب همزیست ( $M_d$  = مذاب همزیست). در این جدول:  $K_{Fe-Mg}^{Cpx} = 0.109 + 0.186 \cdot Mg\#_{Cpx}$  and  $Mg\#_{melt} = (K_{Fe-Mg}^{Cpx} \cdot Mg\#_{Cpx}) / [1 - Mg\#_{Cpx} + (K_{Fe-Mg}^{Cpx} \cdot Mg\#_{melt})]$  (Wood and Blundy, 1997).

**Table 3.** Calculated  $K_d$  of REEs and Y of Kal-e-kafi lamprophyres (East of Anarak, Isfahan province) clinopyroxene and coexisting basaltic melt ( $M_d$  = Basaltic melt), in this table:  $K_{Fe-Mg}^{Cpx} = 0.109 + 0.186 \cdot Mg\#_{Cpx}$  and  $Mg\#_{melt} = (K_{Fe-Mg}^{Cpx} \cdot Mg\#_{Cpx}) / [1 - Mg\#_{Cpx} + (K_{Fe-Mg}^{Cpx} \cdot Mg\#_{melt})]$  (Wood and Blundy, 1997).

Method	Cpx composition		$K_d$ (Wood & Blundy, 1997)		$K_d$ (Sun and Liang, 2012)		Basaltic melt (Wood & Blundy, 1997)		Basaltic melt (Sun and Liang, 2012)	
Sample	B844-152	B844-161	B844-152	B844-161	B844-152	B844-161	B844-152	B844-161	B844-152	B844-161
$H_2O_M$ (wt%)					10	10				
$Mg\#_M$			0.482	0.444						
La	3.560	6.693	0.113	0.109	0.046	0.063	31.509	61.670	76.603	105.655
Ce	15.145	30.736	0.171	0.166	0.077	0.106	88.525	184.956	196.121	290.390
Pr	2.687	5.164	0.243	0.239	0.118	0.163	11.046	21.614	22.813	31.757
Nd	14.633	27.344	0.325	0.323	0.165	0.230	44.977	84.651	88.524	118.765
Sm	4.276	7.734	0.471	0.476	0.247	0.351	9.087	16.246	17.305	22.037
Eu	1.197	2.116	0.522	0.533	0.273	0.391	2.291	3.971	4.387	5.406
Gd	3.916	6.769	0.562	0.577	0.288	0.418	6.971	11.724	13.581	16.189
Tb	0.559	0.928	0.585	0.606	0.292	0.428	0.955	1.531	1.914	2.167
Dy	3.454	5.573	0.591	0.617	0.283	0.421	5.843	9.031	12.183	13.234
Y	15.223	26.017	0.586	0.615	0.273	0.408	25.977	42.331	55.793	63.682
Ho	0.639	1.046	0.581	0.611	0.266	0.400	1.010	1.712	2.401	2.614
Er	1.652	2.717	0.559	0.592	0.244	0.371	2.953	4.590	6.777	7.326
Tm	0.220	0.368	0.531	0.565	0.220	0.338	0.414	0.651	1.001	1.089
Yb	1.474	2.310	0.500	0.534	0.196	0.305	2.951	4.324	7.511	7.572
Lu	0.215	0.309	0.468	0.503	0.175	0.274	0.459	0.614	1.230	1.126

بررسی شیمی آمفیبول و کلینوپیروکسن‌ها لمپروفیر بودن و ماهیت کالک‌آلکالن را برای سنگ‌های دربردارنده این آمفیبول‌ها آشکار می‌کند. محتوی  $TiO_2$  و  $Al_2O_3$  موجود در کلینوپیروکسن اسپسارتیت کال‌کافی، گسترده‌ای تدریجی از خود نشان می‌دهند که بیانگر تبلور این کانی‌ها در حین صعود است. ترموبارومتری آمفیبول موجود در لمپروفیرهای کال‌کافی با استفاده از روش پیشنهادی فمنیاس و همکاران (Femenias et al. 2006) و اوتن (Otten, 1984) به ترتیب دمای میانگین ۸۶۰

لمپروفیرهای مزوکرات کال‌کافی که به صورت دایک و استوک دیده می‌شوند، بر اساس بررسی‌های پتروگرافی و با توجه به تقسیم‌بندی‌های موجود برای لمپروفیرها، متعلق به لمپروفیرهای کالک‌آلکالن و از نوع اسپسارتیت هستند. این لمپروفیرها دارای فنوکریست‌های هورنبلند غالباً از نوع مگنزیو‌هاستینگریت، پیروکسن از نوع دیوپسید و پلاژیوکلاز با ترکیب لابرادوریت تا بیتونیت در یک زمینه دانه‌ریز تا دانه‌متوسط شامل همان کانی‌ها و ارتوکلاز، آپاتیت، مگنتیت، کلریت و اپیدوت هستند.

سنگ‌ها دارای ماهیت کالک‌آلکالن بوده و از ذوب‌بخشی یک اسپینل لرزولیت گوشته لیتوسفری ایجاد شده است. برداشت کلی از بررسی‌های پتروگرافی، فشار‌سنگی و شیمی فنوکریست‌های تشکیل‌دهنده لمپروفیر کال‌کافی نشان می‌دهد که سیالات متاسوماتیز کننده حاصل از اسلب فرورونده باعث ذوب گوشته لیتوسفری اسپینل لرزولیتی در اعمق بالاتر از ۱۷ کیلومتر شده است. پیروکسن‌ها اولین کانی فنوکریست متببورشده از ماقمای به وجود آمده در دماهای بالاتر، شرایط نسبتاً خشک با مواد فرار و  $\text{CO}_2$  کمتر بوده‌اند. پس از آن پلازیوکلازهای بازیک و آمفیبول‌ها تبلور به دست آورده‌اند که آمفیبول‌ها در شرایط اشباع از مواد فرار و  $\text{CO}_2$  متببور شده‌اند. تبلور این فنوکریست‌ها در حین صعود ماقمای نیز ادامه داشته است و در نهایت مواد زمینه‌ای متببور شده‌اند. مقدار عناصر کمیاب و نادر خاکی موجود در کلینوپیروکسن‌ها که به ازای کاهش فشار، با افزایش قابل ملاحظه‌ای همراه هستند نیز دلیلی بر تبلور ماقمای در حین صعود است.

### قدرتانی

نویسنده‌گان مقاله از حمایت‌های مالی دانشگاه اصفهان و همچنین پیشنهادها و نظرهای ارزنده داوران محترم تشکر می‌نمایند.

و ۸۸۶ درجه سانتی گراد و فشار ۱/۵ تا ۳/۰ کیلوبار با استفاده از روش اندرسون و اسمیت (Anderson and Smith, 1995) ارزش اندیشه ای دارد. پیروکسن‌های موجود در لمپروفیر کال‌کافی را نشان می‌دهد. پیروکسن‌های موجود در لمپروفیر را نشان دمای ۱۱۵۰ درجه سانتی گراد و فشار ۲ تا ۵ کیلوبار را نشان می‌دهند. فشارهای به دست آمده اعمق ۷ تا ۱۷ کیلومتر را برای تبلور کلینوپیروکسن‌ها و ۶ تا ۱۱ کیلومتر را برای تبلور آمفیبول‌ها نشان می‌دهند. دمای تعادل زوج کانی همزیست آمفیبول- پلازیوکلاز با استفاده از روش پیشنهادی هولاند و بلاندی (Holland and Blundy, 1994) به طور متوسط ۸۶۰ درجه سانتی گراد به دست آمده است. آمفیبول و کلینوپیروکسن‌های موجود در اسپسارتیت کال‌کافی زونینگ نوسانی از خود نشان می‌دهند که می‌تواند به علت تغییرات فشار در حین صعود، نوسانات فشار بخار آب و تغییرات شدید فوگاسیته اکسیژن باشد.

بررسی عناصر نادر خاکی موجود در فنوکریست‌های اسپسارتیت کال‌کافی نشان می‌دهد این عناصر در آمفیبول‌ها بیشترین و در پلازیوکلازها کمترین مقدار را دارا هستند و مقدار عناصر کمیاب و نادر خاکی در کلینوپیروکسن‌ها به ازای کاهش فشار، با افزایش قابل ملاحظه‌ای همراه است. محاسبه ترکیب مذاب متببور کننده کلینوپیروکسن‌ها نشان می‌دهد که مذاب سازنده این

### References

- Ahmadian, J., Hasckke, M., Mc Donald, I., Regelous, M., Ghorbani, M.R., Emami, M.H. and Murata, M., 2009. High magmatic flux during Alpine-Himalayan collision: Constraints from the Kal-e-kafi complex, centeral Iran. Geological Society of America, 121(5): 857-868.
- Ahmadian, J., Sarjoughian, F., Lentz, D., Esna-Ashari, A., Murata, M. and Ozawa, H., 2016. Eocene K-rich adakitic rocks in the Central Iran: Implications for evaluating its Cu–Au–Mo metallogenic potential. Ore Geology Reviews, 72(1): 323-342.
- Aistov, L., Melnikov, B., Krivyakin, B. and Morozov, L., 1984. Geology of the Khur area (central Iran), Geological Survey of Iran, Tehran, TE Report 20, 131 pp.
- Alavi, M., 1991. Tectonic map of the Middle East, Scale 1:5000000, Geological Survey of Iran, Tehran.
- Anderson, J.L. and Smith, D.R., 1995. The effects of temperature and Oxygen fugacity on the Al-in-hornblende barometer, American Mineralogist, 80 (5-6): 549-559.
- Aoki, K.I., and Kushiro, I., 1968. Some clinopyroxenes from ultramafic inclusions in Dreiser Weiher, Eifel. Contributions to Mineralogy and Petrology, 18(4): 326–337.
- Bahadoran, N., 2007. Petrology and geochemistry of volcanic rocks in west of the Arousan-e - Kaboudan area (south of Choupanan - North east of Esfahan). M.Sc. Thesis, University of

- Esfahan, Esfahan, Iran, 120 pp. (in Persian with English abstract)
- Bayat, F. and Torabi, G., 2011. Alkaline lamprophyric province of Central Iran. *Island Arc*, 20(3): 386 – 400.
- Baziotis, I., Mposkos, E. and Leontakianakos, G., 2012. Amphibole chemistry from the Penteli metamorphic core complex: implication for the metamorphic evolution of eastern Attica. First European Mineralogical Conference, Frankfurt, Germany.
- Coltorti, M., Bonadiman, C., Faccini, B., Grégoire, M.O., Reilly, S.Y. and Powell, W., 2007. Amphiboles from suprasubduction and intraplate lithospheric mantle. *Lithos*, 99(1-2): 68-84.
- Deer, W.A., Howie, R.A. and Zussman, J., 1996. An introduction to the rock-forming minerals. Longman, London, United Kingdom, 696 pp.
- Femenias, O., Mercier, J.C., Nkono, C., Diot, H., Berza, T., Tatú, M. and Demaiffe, D., 2006. Calcic amphibole growth and compositions in calc-alkaline magmas: Evidence from the Motru Dike Swarm (Southern Carpathians, Romania). *American Mineralogist*, 91(1): 73-81.
- Gibson, A.S., Thompson, R.N., Dickin, A.P. and Leonardos, O.H., 1995. High-Ti and low-Ti mafic potassic magmas: key to plume-lithosphere interactions and continental flood-basalt genesis. *Earth Planetary Science Letters*, 136(3): 149–165.
- Hammarstrom, J.M. and Zen, E.A., 1986. Aluminium in hornblende: an empirical igneous geobarometer. *American Mineralogist*, 71(11-12): 1297-1313.
- Helz, R.T., 1973. Phase relations of basalts in their melting ranges at  $pH_2O = 5$  kb as a function of Oxygen fugacity, Part I. Mafic phases. *Journal of Petrology*, 14(2): 249-302.
- Holland, T. and Blundy, J., 1994. Non-ideal interactions in calcic amphiboles and their bearing on amphibole-plagioclase thermometry. *Contributions to Mineralogy and Petrology*, 116(4): 433-447.
- Hollister, L.S., Grissom, G.C., Peters, E.K., Stowell, H.H. and Sisson, V.B., 1987. Confirmation of the empirical correlation of Al in hornblende with pressure of solidification of calc-alkaline plutons. *American Mineralogist*, 72(3-4): 231–239.
- Ishida, Y., Morishita, T., Arai, S. and Shirasaka, M., 2004. Simultaneous in-situ multi-element analysis of minerals on thin section using LA-ICP-MS. *Science Reports of Kanazawa University*, 48(1, 2): 31-42.
- Johnson, M.C. and Rutherford, M.J., 1988. Experimental calibration of an aluminum-in-hornblende geobarometer applicable to calc-alkaline rocks. *Earth and Space Science News*, 69(44):1511.
- Leake, B.E., Woolley, A.R., Arps, C.E.S., Birch, W.D., Gilbert, M.C., Grice, J.D., Hawthorne, F.C., Kato, A., Kisch, H.J., Krivovichev, V.G., Linthout, K., Laird, J., Mandarino, J.A., Maresch, W.V., Nickel, E.H., Rock, N.M.S., Schumacher, J.C., Smith, D.C., Stephenson, N.C.N., Ungaretti, L., Whittaker, E.J.W. and Guo, Y., 1997. Nomenclature of amphiboles: Report of the subcommittee on amphiboles of the International Mineralogical Association, Commission on New Minerals and Mineral Names. *The Canadian Mineralogist*, 35(1): 219-246.
- Le Bas, M., 2007. Igneous rock classification revisited 4: Lamprophyres. *Geology Today*, 23 (5): 167-168.
- Le Bas, M.J., 1962. The role of Aluminium in igneous clinopyroxenes with relation to their parentage. *American Journal of Science*, 260 (4): 267 - 288.
- Li, Y., 1998. Crystal chemistry, microstructures, and petrologic implication of the amphiboles from the blueschists of Southwestern Oregon. M.Sc. Thesis, Brigham Young University, Utah, United States, 74 pp.
- Mayer, B., 2013. Petrogenesis of hornblende - bearing lavas (Rhön, Germany). Ph.D. Thesis, Hamburg University, Hamburg, Germany, 86 pp.
- McDonough, W.F. and Sun, S.-s., 1995. The composition of the Earth. *Chemical Geology*, 120(3-4): 223 – 253.
- Moretti, R. and Baker, D.R., 2008. Modeling the interplay of  $fO_2$  and  $fS_2$  along the FeS-silicate melt equilibrium. *Chemical Geology*, 256(3-4), 286–298.
- Morimoto, N., Fabrise, J., Ferguson, A., Ginzburg, I.V., Ross, M., Seifert, F.A., Zussman, J., Akoi, K. and Gottardi, G., 1988. Nomenclature of pyroxenes. *Mineralogical Magazine*, 52(367): 535-550.

- Morishita, T., Ishida, Y. and Arai, S., 2005a. Simultaneous determination of multiple trace element compositions in thin ( $<30 \mu\text{m}$ ) layers of BCR-2G by 193 nm ArF excimer laser ablation-ICP-MS: Implications for matrix effect and elemental fractionation on quantitative analysis. *Geochemical Journal*, 39 (4): 327-40.
- Morishita, T., Ishida, Y., Arai, S. and Shirasaka, M., 2005b. Determination of multiple trace element compositions in thin ( $<30 \mu\text{m}$ ) layers of NIST SRM 614 and 616 using laser ablation-inductively coupled plasma-mass spectrometry. *Geostandards and Geoanalytical Research*, 29(1): 107-22.
- Otten, M.T., 1984. The origin of brown hornblende in the Artssjället gabbros and dolerites. *Contributions to Mineralogy and Petrology*, 86(2): 189 - 199.
- Ridolfi, F., Renzulli, A. and Puerini, M., 2010. Stability and chemical equilibrium of amphibole in calc alkaline magmas: an overview, new thermobarometric formulations and application to subduction related volcanoes. *Contributions to Mineralogy and Petrology*, 160(1): 45-66.
- Rock, N.M.S., 1991. Lamprophyres. Blackie and Sons Limited, Glasgow, Scotland, 285 pp.
- Rutherford, M.J., 2008. Magma Ascent rates. *Reviews in Mineralogy and Geochemistry*, 69 (1): 241-271.
- Schmidt, M.W., 1992. Amphibole composition in tonalite as a function of pressure: an experimental calibration of the Al-in-hornblende barometer. *Contributions to Mineralogy and Petrology*, 110(2-3): 304-310.
- Shore, M. and Fowler, A.D., 1996. Oscillatory zoning in minerals: A common phenomenon. *The Canadian Mineralogist*, 34(6): 1111-1126.
- Simakin, A., Zakrevskaya, O. and Salova, T., 2012. Novel Amphibole geo-barometer with application to mafic xenoliths. *Earth Science Research*, 1(2): 82-97.
- Soesoo, A., 1997. A multivariate statistical analysis of clinopyroxene compositions: empirical coordinates for the crystallization and PT estimations. *Journal of Geological Society of Sweden*, 119(1), 55-60.
- Sun, C. and Liang, Y., 2012. Distribution of REE between clinopyroxene and basaltic melt along a mantle adiabat: Effects of major element composition, water, and temperature. *Contributions to Mineralogy and Petrology*, 163(5): 807-823.
- Sun, C.M., Bertrand, J., 1991. Geochemistry of clinopyroxenes in plutonic and volcanic sequences from the Yanbian Proterozoic ophiolites (Sichuan Province, China): petrogenetic and geotectonic implications. *Schweizerische Mineralogische und Petrographische Mitteilungen*, 71(2): 243–259.
- Sun, S.S. and McDonough, W.F., 1989. Chemical and isotopic systematics of oceanic basalts: implications for mantle composition and processes. In: A.D. Saunders and M.J. Norry (Editors), *Magmatism in the ocean basins*. Geological Society, London, pp. 313–345.
- Torabi, G.H., 2009. Late Permian lamprophyric magmatism in North-East of Isfahan Province, Iran: A mark of rifting in the Gondwanaland. *Comptes Rendus Geoscience*, 341(1): 85–94.
- Torabi, G.H., 2010. Early Oligocene alkaline lamprophyric dykes from the Jandaq area (Isfahan Province, Central Iran): Evidence of Central–East Iranian microcontinent confining oceanic crust subduction. *Island Arc*, 19(2): 277-291.
- Whitney, D.L. and Evans, B.W., 2010. Abbreviations for names of rock-forming minerals. *American Mineralogist*, 95(1): 185-187.
- Wood, B.J. and Blundy, J.D., 1997. Predictive model for rare earth element partitioning between clinopyroxene and anhydrous silicate melt. *Contributions to Mineralogy and Petrology*, 129(2-3): 166-181.
- Woolley, A.R., Bergman, S.C., Edgar, A.D., Le Bas, M.J., Mitchell, R.H., Rock, N.M.S. and Scott-Smith, B.H., 1996. Classification of lamprophyres, lamproites, kimberlites and the kalsilite mellitic and leucitic rocks. *The Canadian Mineralogist*, 34(2): 175-186.
- Yakovenko, V., Chinakov, I., Kokorin, Yu. and Krivyakin, B., 1981. Report on geological prospecting in Anarak area (Kal-e Kafi- Khuni locality). Moscow, Report No. 13, 293 pp.



## Petrogenetic processes, crystallization conditions and nature of the Lower-Oligocene calc-alkaline spessartitic lamprophyres from Kal-e-kafi area (East of Anarak, Isfahan province)

Gholam Hossain Nazari and Ghodrat Torabi\*

Department of Geology, Faculty of Sciences, University of Isfahan, Isfahan, Iran

Submitted: June 12, 2015

Accepted: Apr. 6, 2016

**Keywords:** Spessartite, Lamprophyre, Calc-alkaline, Oligocene, Kal-e-kafi, Central Iran

### Introduction

Lamprophyres are mesocratic to melanocratic igneous rocks, usually hypabyssal, with a panidiomorphic texture and abundant mafic phenocrysts of dark mica or amphibole (or both) with or without pyroxene, with or without olivine, set in a matrix of the same minerals, and with alkali-feldspar restricted to the groundmass (Woolley et al., 1996). Lamprophyres are frequently associated with orogenic settings and a mantle modified by dehydration of subducted slab (Gibson et al., 1995).

Small outcrops of lamprophyres with Paleozoic to Oligocene age are reported from the central parts of Iran (Torabi 2009 and 2010). The primary magmas of these lamprophyres were derived from decompression melting of the mantle induced by a tensional regime of continental crust (Torabi, 2010). Bayat and Torabi (2011) called the western part of the CEIM (Central-East Iranian Microcontinent) (Anarak to Bayazeh) a “Paleozoic lamprophyric province” and suggested that the lamprophyre magmas were formed by subduction of Paleo-Tethys oceanic crust from the Early to late Paleozoic which resulted in the mantle metasomatism and enrichment.

Lamprophyric dykes and stocks of the Kal-e-kafi area (Central Iran, Northern part of Yazd Block) cross-cut the Eocene volcanic rocks and other older rock units such as Cretaceous limestone. These lamprophyres are mainly composed of

hornblende (magnesio-hastingsite), clinopyroxene (diopside) and plagioclase (labradorite to bytownite) as phenocryst, in a matrix of fine to medium grained of the same minerals and orthoclase, apatite, magnetite, chlorite and epidote.

In this paper that is a report on the first study on the calc-alkaline lamprophyres of Central Iran, the petrography and mineral chemistry of calc-alkaline lamprophyric dykes of the Kal-e-kafi area are discussed.

### Materials and methods

Chemical composition of minerals were conducted at Kanazawa University (Kanazawa, Japan) using the wavelength-dispersive electron probe microanalyzer (EPMA) (JEOL JXA-8800R), with 20kV accelerating potential, 20 nA beam current and a counting time of 40 seconds. Natural minerals and synthetic materials were used as standards. The ZAF program was used for data correction. The Fe<sup>3+</sup> content of minerals was estimated by stoichiometry. The Mg# and Fe# were calculated as [Mg/(Mg+Fe<sup>2+</sup>)], and [Fe<sup>2+</sup>/(Fe<sup>2+</sup>+Mg)] atomic ratio of minerals, respectively.

Trace element values of phenocrystic clinopyroxene, amphibole and plagioclase were analyzed by LA-ICP-MS (laser ablation-inductively coupled plasma-mass spectrometry) using an ArF 193 nm Excimer Laser coupled to an

Agilent 7500S at the Earth Science Department of the Kanazawa University (Japan). The diameter of the analyzed points was 60 micrometers for clinopyroxene and 120 micrometers for amphibole and plagioclase.

Mineral abbreviations are adopted from Whitney and Evans (2010).

## Results and Discussion

Lamprophyres of the Kal-e-kafi area (Central Iran, West of Yazd Block) are exposed as dykes and stocks which cross-cut the Eocene volcanic rocks and other older rock units such as Cretaceous limestone. Field studies indicate that calc-alkaline lamprophyric dykes of the Kal-e-kafi (east of Anarak) are younger than the other igneous rocks.

According to the results of petrography and mineral chemistry, the mesocratic lamprophyres of Kal-e-kafi area are calc-alkaline spessartite.

Unique values of  $\text{Al}_2\text{O}_3$  and  $\text{TiO}_2$  associated with oscillatory zoning of clinopyroxenes reveal the crystallization of clinopyroxenes during ascending of magma.

Plagioclase phenocrysts are labradorite to bytownite in composition and the plagioclases of matrix are labradorite. Chemical composition diversity of plagioclase indicates the fractional crystallization of these lamprophyres.

Amphibole thermometry estimate average temperature of  $860^\circ\text{C}$  and barometry by Anderson and Smith (1995) shows 1.5 to 3 kbars pressure. Clinopyroxene thermobarometry calculate  $1150^\circ\text{C}$  temperature and pressure between 2 to 5 kbars. The geochemical features and thermobarometry of the Kal-e-kafi spessartite minerals suggest that the primary lamprophyric magma was derived from partial melting of a lithospheric mantle spinel lherzolite. Changes in values of pressure, water content, and Oxygen fugacity during magma ascending lead to oscillatory zoning minerals.

Based on the mineral chemistry, it can be concluded that the Kal-e-kafi lamprophyres were formed in a subduction-related environment by a calc-alkaline magmatism.

## References

- Anderson, J.L. and Smith, D.R., 1995. The effects of temperature and Oxygen fugacity on the Al-in-hornblende barometer, *American Mineralogist*, 80 (5-6): 549-559.
- Bayat, F. and Torabi, G., 2011. Alkaline lamprophyric province of Central Iran. *Island Arc*, 20(3): 386 – 400.
- Gibson, A.S., Thompson, R.N., Dickin, A.P. and Leonards, O.H., 1995. High-Ti and low-Ti mafic potassic magmas: key to plume-lithosphere interactions and continental flood-basalt genesis. *Earth Planetary Science Letters*, 136(3): 149–165.
- Torabi, G.H., 2009. Late Permian lamprophyric magmatism in North-East of Isfahan Province, Iran: A mark of rifting in the Gondwanaland. *Comptes Rendus Geoscience*, 341(1): 85–94.
- Torabi, G.H., 2010. Early Oligocene alkaline lamprophyric dykes from the Jandaq area (Isfahan Province, Central Iran): Evidence of Central–East Iranian microcontinent confining oceanic crust subduction. *Island Arc*, 19(2): 277-291.
- Whitney, D.L. and Evans, B.W., 2010. Abbreviations for names of rock-forming minerals. *American Mineralogist*, 95(1): 185-187.
- Woolley, A.R., Bergman, S.C., Edgar, A.D., Le Bas, M.J., Mitchell, R.H., Rock, N.M.S. and Scott-Smith, B.H., 1996. Classification of lamprophyres, lamproites, kimberlites and the kalsilite mellitic and leucitic rocks. *The Canadian Mineralogist*, 34(2): 175-186.